

1998 年度 卒業論文

リカージョン法による分子軌道計算の
プログラムの開発

9420002

木村・齋藤研 安藤 泰夫

電気通信大学 電子工学科 電子デバイス講座

指導教官 齋藤 理一郎 助教授

提出日 平成 11 年 2 月 10 日

【概要】

本研究では、カーボンナノチューブのような原子の数が非常に多い分子の分子軌道を計算するプログラムを開発することを目的としている。分子軌道の計算には、第一原理計算とタイトバインディングハミルトニアンによる近似計算がある。タイトバインディングによる計算は、計算時間を短縮するのに非常に有用である。ここでは、タイトバインディングによる近似計算を利用して分子軌道を計算している。タイトバインディングによる分子軌道計算は、分子軌道法を利用した計算であるが、分子軌道法では原子の数が多き巨大な分子では、非常に時間がかかる計算になる。分子軌道法では、分子を構成する原子の価電子帯の原子軌道数を次元とする行列が作られるが、計算時間はこの行列の次元の3乗に比例する。それでは、カーボンナノチューブのような巨大な分子では計算に時間がかかりすぎる。そこで、計算時間を原子軌道の数の1乗に比例する程度まで短縮することが可能なリカージョン法を用いた分子軌道計算プログラムを完成させることを目的として、リカージョン法に用いるハミルトニアン行列から状態密度を計算するプログラムを作成した。また、リカージョン法による計算結果を評価するために、分子軌道法による分子軌道計算プログラムを作成した。計算はフラレンの C_{60} について行った。タイトバインディングパラメータは、フラレンのために開発された原子間の距離の関数になっているものを採用した。分子軌道法の計算の結果は、同じパラメータを使用した計算結果と一致する結果を得た。また、リカージョン法のチェーンモデルの構成情報から分子の状態密度を計算するプログラムを開発したが、チェーンモデルを作るプログラムについては開発することができなかった。分子軌道法による C_{60} の分子軌道の計算速度から考察すると、カーボンナノチューブのような巨大な分子では、リカージョン法による分子軌道計算が非常に有用であると思われる。

もくじ

1	序論	2
1.1	背景	2
1.1.1	フラレン	3
1.1.2	カーボンナノチューブ	3
1.1.3	分子軌道計算	5
1.2	目的	5
2	計算方法	6
2.1	タイトバインディングパラメーターを用いた分子軌道法による計算	6
2.1.1	原理	6
2.1.2	炭素における、タイトバインディング計算	7
2.1.3	原子積分の計算	8
2.1.4	タイトバインディングパラメーター	10
2.1.5	ハミルトニアン行列の作成	11
2.1.6	行列の要素の計算	12
2.1.7	DEIGAB(付録 p.35) の説明 (固有値、固有ベクトルの計算)	13
2.2	リカージョン法	15
2.2.1	オーバーラップ行列 $S = 1$ の場合のリカージョン法	15
2.2.2	オーバーラップ行列 S がある場合のリカージョン法	16
2.2.3	正方格子の場合	17
3	結果及び考察	22
3.1	任意の座標に対するタイトバインディング計算	22
3.2	リカージョン法	26
3.2.1	ハミルトニアン行列の作成	26
4	結論	29

第 1 章

序論

1.1 背景

炭素の構造をあらわす理論の研究として、第一原理を基礎とした計算方法と、タイトバインディングハミルトニアンを利用した近似計算がある。第一原理を利用した計算はタイトバインディングによる計算と比べて非常に多くの計算努力を必要とするので、タイトバインディングによる計算は有用であると考えられる。炭素には、グラファイト、ダイヤモンド、フラーレン、カーボンナノチューブという同素体がある。岡田氏らによる博士論文 [3] で、フラーレンに関して良い結果を得たタイトバインディングパラメーターが開発された。図 1.1(a) はその論文の結果で、 C_{60} 分子の縮重度である。

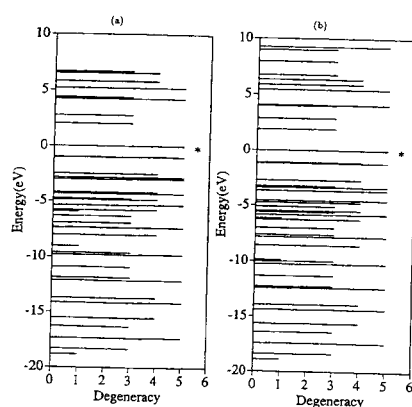


図 1.1 (a) タイトバインディング計算 (b) 第一原理の C_{60} 分子の縮重度¹

4(eV) 未満において、第一原理計算の結果と良く一致している。このパラメーターによって、フラーレンやカーボンナノチューブの分子軌道計算に良い結果が得られることが期待できる。

¹ファイル名 : ./eps/haikai.eps

しかし、カーボンナノチューブのように原子の数が 1000 以上あるような分子の分子軌道を計算しようとしたとき、タイトバインディングによる分子軌道法を用いると計算に時間がかかる。以下に計算の対象となる炭素の同素体を説明する。

1.1.1 フラーレン

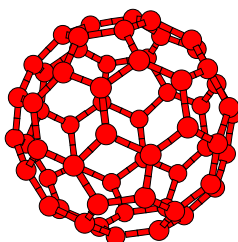


図 1.2 C_{60} 分子²

1985 年に Kroto、Smalley の実験により発見された C_{60} 分子がフラーレンに関する初めての発見である。フラーレンは C_{60} 以外にも、 C_{70} や C_{76} 、 C_{84} といった大きな粒子が発見されている。すべてのフラーレンは 5 員環と 6 員環で構成される閉殻構造の多面体であり、その数はオイラーの定理により知ることが出来る。オイラーの定理によると、五員環は常に 12 個ある。

1.1.2 カーボンナノチューブ

カーボンナノチューブは、グラファイトを丸めてチューブ状にしたような形をしている。一般に、その先端は開いているわけではなく閉じている。フラーレンの構造と関連してくるが、先端が閉じているということは、オイラーの定理からチューブの先端部には五員環があることがわかる。カーボンナノチューブには、1 つのチューブのみの単層ナノチューブ (図 1.2) と幾つかのチューブが入れ子になっている多層ナノチューブ (図 1.3) がある。多層ナノチューブの物性はバルクのグラファイトのそれと大差ないのに比べ、単層ナノチューブは六員環ネットワークのトポロジーによって支配される特異な性質を持つ。

カーボンナノチューブはその構造によって、金属にも半導体にもなる。この特性を利用すれば、幾つかの構造のカーボンナノチューブをつなげ、ナノメートルサイズのデバイスを作ることが可能になるであろう。

²ファイル名 : ./eps/C60-1.eps

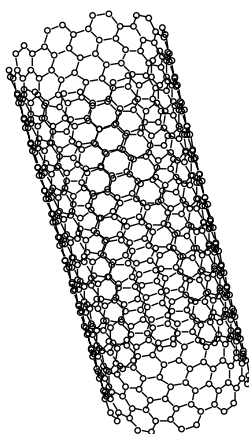


図 1.3 単層ナノチューブ³

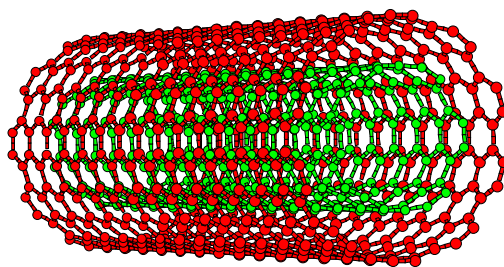


図 1.4 多層ナノチューブ⁴

ナノチューブの特徴には

- 直径がナノメートルのサイズである。
- 円筒で多くはらせん構造である。
- サイズが分子とバルク (分子の数量が極めて多い) の中間である。
- 構成する原子の位置が既知である。
- 柔軟構造である。
- 熱的に安定構造である。

³ファイル名 : ./eps/10-10-1.ps

⁴ファイル名 : ./eps/ireko.ps

- 自己支持構造 (六員環を形成する炭素原子の結合はダイヤモンドより強い) である。

があります。以上のようなユニークさを持つため、広範囲な研究者に興味をもたれ、研究対象になっている。もし、ナノチューブを自由につくることができれば、半導体の主力が炭素に移る日がくるであろう。

1.1.3 分子軌道計算

分子の電子状態を計算する方法として、分子軌道法がある。この分子軌道法を使って、炭素で構成される分子の電子状態の計算をした場合、原子の数が 1000 程度までの計算ならば、汎用コンピューターを用いても可能であるが、10000 といった原子の数が多くなった場合には、分子軌道法によるトランスファー行列とオーバーラップ行列をつくって計算する方法では、非常に時間のかかる計算となる。特に炭素の場合、価電子帯の $2s, 2p_x, 2p_y, 2p_z$ の 4 つの軌道だけを考慮して、原子の数の 4 倍の大きさのハミルトニアン行列をつくる。求めるエネルギー固有値は、この行列の大きさ N の 3 乗に比例する。この計算を N の 1 乗に比例する程度まで速くすることが可能な計算方法をオーダー N 法と呼び、その一つとしてリカージョン法がある。この方法は原子の数が増えても非常に速く計算ができるようになるため、この方法を用いれば、汎用コンピューターでも大きな分子の電子状態を計算することが可能になる。原子の数が 10000 あるとすると、計算時間をオーダー N^3 からオーダー N することは計算時間の短縮に非常に有用である。

1.2 目的

分子軌道法で、距離の関数であるタイトバインディングパラメーターを用いたプログラムを開発する。これによって、任意の座標での分子でも分子軌道の計算を可能とする。しかしながら、原子数が多くなった場合、分子軌道法を用いて計算すると、非常に時間がかかってしまう。

そこで、炭素で構成される分子における状態密度を、原子の数が多い場合でも汎用コンピューターで計算ができるように、プログラムをオーダー N に改良する。方法はリカージョン法を用いる。計算は、フラーレンの C_{60} について行う。。

第 2 章

計算方法

2.1 タイトバインディングパラメーターを用いた分子軌道法による計算

2.1.1 原理

分子軌道は、原子のそばでは原子のポテンシャルエネルギーを感じるはずであるので、近似的に分子軌道 Ψ_i を原子軌道 φ_i の線形結合で表す。

$$\Psi_i = \sum_{j=1}^N C_{ij} \varphi_j(r), (i = 1, \dots, N) \quad (2.1)$$

この時、分子軌道のエネルギーは

$$E_i = \frac{\int \Psi_i^* \mathcal{H} \Psi_i d\mathbf{r}}{\int \Psi_i^* \Psi_i d\mathbf{r}} \quad (2.2)$$

で表すことができる。ここで、

$$\begin{aligned} \int \Psi_i^* \mathcal{H} \Psi_i d\mathbf{r} &= \langle \Psi_i^* | \mathcal{H} | \Psi_i \rangle \\ \int \Psi_i^* \Psi_i d\mathbf{r} &= \langle \Psi_i^* | \Psi_i \rangle \end{aligned} \quad (2.3)$$

であらわすと、

$$E_i = \frac{\langle \Psi_i^* | \mathcal{H} | \Psi_i \rangle}{\langle \Psi_i^* | \Psi_i \rangle} \quad (2.4)$$

この式に 2.1 式を代入すると、

$$E_i = \frac{\sum_{j,j'=1}^N C_{ij}^* C_{ij'} \langle \varphi_j | \mathcal{H} | \varphi_{j'} \rangle}{\sum_{j,j'=1}^N C_{ij}^* C_{ij'} \langle \varphi_j | \varphi_{j'} \rangle} \quad (2.5)$$

ここで、

$$H_{jj'} = \langle \varphi_j | \mathcal{H} | \varphi_{j'} \rangle \quad (2.6)$$

$$S_{jj'} = \langle \varphi_j | \varphi_{j'} \rangle \quad (2.7)$$

とする。 E_i を C_i^* で偏微分すると極小の条件から 0 になる。

式 (2.5) を変形して、

$$\sum_{j'=1}^N H_{jj'} C_{ij'} = E_i \sum_{j'=1}^N S_{jj'} C_{ij'} \quad (2.8)$$

ここで列ベクトル $C_i = {}^t(C_{i1}, \dots, C_{iN})$ を定義すれば、

$$H C_i = E_i S C_i \quad (2.9)$$

移項して

$$(H - E_i S) C_i = 0 \quad (2.10)$$

としたとき、もし行列 $(H - E_i S)$ に逆行列が存在したとすると、両辺に逆行列をかけて $C_i = 0$ となり、 Ψ_i が分子軌道にならない。したがって、行列 $(H - E_i S)$ には逆行列が存在しない。したがって、以下の式が成り立つ。

$$\det(H - E_i S) = 0 \quad (2.11)$$

これを永年方程式といい、この行列式を解いてエネルギー固有値 E_i を求める。この作業は、実際にはハウスホルダー法等の行列対角化のプログラムを用いる。

2.1.2 炭素における、タイトバインディング計算

次に 2.1.1 の計算を炭素の場合に応用することを考える。炭素の価電子帯の電子の原子軌道は $2s, 2p_x, 2p_y, 2p_z$ の 4 つである。よって、炭素でのトランスファー行列 H とオーバーラップ行列 S は、この 4 つの原子軌道の原子積分の値で作られる。原子軌道 ϕ_i と ϕ_j の原子積分は、以下の式で計算されるものである。 [2]

$$H_{ij} = \int \phi_i^* \mathcal{H} \phi_j d\mathbf{r} \quad (2.12)$$

$$S_{ij} = \int \phi_i^* \phi_j d\mathbf{r} \quad (2.13)$$

ここでは、行列の要素の値となる原子積分の値は、タイトバインディングパラメーターを用いて計算した。ここで用いたパラメーターは、原子間の距離よる関数になっ

ているもの [3] を使って計算している。また、トランスファー行列、オーバーラップ行列の対角項は、

$$H_{ii} = \int \phi_i^* \mathcal{H} \phi_i d\mathbf{r} \quad (2.14)$$

$$S_{ii} = \int \phi_i^* \phi_i d\mathbf{r} \quad (2.15)$$

であるが、 $2s$ 軌道の際は H_{ii}, S_{ii} はそれぞれ $\varepsilon_{2s}, 1$ 、 $2p$ 軌道の際はそれぞれ $\varepsilon_{2p}, 1$ となる。 S_{ii} が 1 となるのは、原子軌道関数が規格化されているからである。

2.1.3 原子積分の計算

炭素原子の原子積分の値は以下の 8 通りある。

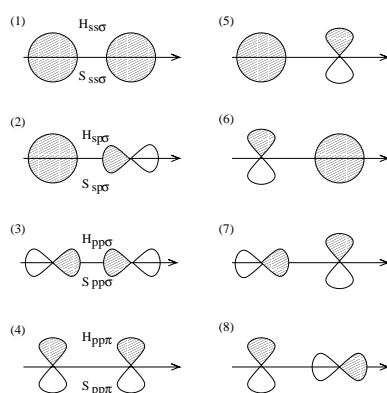


図 2.1 $2s$ 軌道と $2p$ 軌道の原子積分¹

このうち 4 つは値が 0 になる。したがって、残りの 4 通りの成分の値をパラメーターにして計算すればよい。実際の値は、この 8 通りの成分をいくつか含む形になっているので、この 8 通りの成分に分解して計算する。

二次元の場合 (図 2.2)

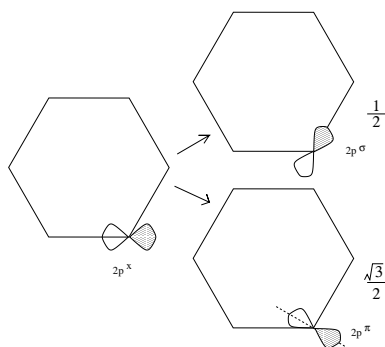


図 2.2 $2p$ 軌道の成分の分解²

$2s$ 軌道は方向を持たないため、 $2s$ 軌道同士の原子積分はパラメーターをそのまま適

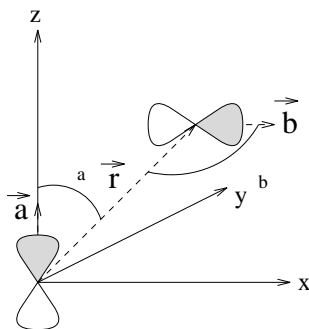
¹ファイル名 : ./eps/model8.eps

²ファイル名 : ./eps/model9.eps

用できるが、 $2p$ 軌道は方向を持つために、成分を分解して計算をする。図のよう
になっていた場合以下のように計算して値を求めている。

a と b の 2 つの $2p$ 軌道を r に垂直な成分 (π 成分) と r 方向の成分 (σ 成分) に分解
する。それぞれの成分の大きさをかけたものに π 成分ならば、 π 成分のパラメーター、
 σ 成分ならば σ 成分のパラメーターをかけて原子積分の値とする。

実際の分子では三次元であるので、三次元の場合について説明する。



であらわされる。ここで、 $2p_x$ どうし、 $2p_y$ どうし、 $2p_z$ どうしの場合、 $\cos \theta_a = -\cos \theta_b$ であるので σ 成分は

$$H_{p_i p_j \sigma} = H_{pp\sigma}(-\cos^2 \theta_a) \quad (2.19)$$

となる。 π 成分は、図 2.4 のようにねじれはなく同じ方向を向いてるので、

$$H_{p_i p_j \pi} = H_{pp\pi}(1 - \cos^2 \theta_a) \quad (2.20)$$

となる。

2.1.4 タイトバインディングパラメーター

タイトバインディングパラメーターは、原子積分の値をパラメーターにしたものである。ここで、使用した炭素原子の 2 原子間のパラメーターは、原子間の距離の関数になっている以下の式で求められるものである。

$Q(r)$ はカットオフ関数、 R は機能関数、 v, u はパラメーター (表 2.1) で、 a と b は 2 つの原子それぞれをあらわす。

トランスファー行列 H のパラメーターの関数 [3]

$$t_{ab}^{ss\sigma}(r) = -7\sqrt{v_a^s v_b^s} R^{ss\sigma}(4r/(r_s^a + r_s^b))Q(r) \quad (2.21)$$

$$t_{ab}^{sp\sigma}(r) = -7\sqrt{v_a^s v_b^{p\sigma}} R^{sp\sigma}(4r/(r_s^a + r_{p\sigma}^b))Q(r) \quad (2.22)$$

$$t_{ab}^{pp\sigma}(r) = -7\sqrt{v_a^{p\sigma} v_b^{p\sigma}} R^{pp\sigma}(4r/(r_{p\sigma}^a + r_{p\sigma}^b))Q(r) \quad (2.23)$$

$$t_{ab}^{pp\pi}(r) = -7\sqrt{v_a^{p\pi} v_b^{p\pi}} R^{pp\pi}(4r/(r_{p\pi}^a + r_{p\pi}^b))Q(r) \quad (2.24)$$

オーバーラップ行列 S のパラメーターの関数 [3]

$$s_{ab}^{ss\sigma}(r) = 7\sqrt{u_a^s u_b^s} R^{ss\sigma}(4r/(r_s^a + r_s^b))Q(r) \quad (2.25)$$

$$s_{ab}^{sp\sigma}(r) = 7\sqrt{u_a^s u_b^{p\sigma}} R^{sp\sigma}(4r/(r_s^a + r_{p\sigma}^b))Q(r) \quad (2.26)$$

$$s_{ab}^{pp\sigma}(r) = 7\sqrt{u_a^{p\sigma} u_b^{p\sigma}} R^{pp\sigma}(4r/(r_{p\sigma}^a + r_{p\sigma}^b))Q(r) \quad (2.27)$$

$$s_{ab}^{pp\pi}(r) = 7\sqrt{u_a^{p\pi} u_b^{p\pi}} R^{pp\pi}(4r/(r_{p\pi}^a + r_{p\pi}^b))Q(r) \quad (2.28)$$

$r^s, r^{p\sigma}, r^{p\pi}$ は原子軌道の種類による距離のパラメーターで、それぞれ $r^s = 0.620(\text{\AA})$, $r^{p\sigma} = 0.810(\text{\AA})$, $r^{p\pi} = 0.550(\text{\AA})$ である。

表 2.1: パラメーター [3]

v	(eV)	u
v^s	6.6	u_s $\frac{1}{7}$
$v^{p\sigma}$	4.3	$u_{p\sigma}$ $\frac{1}{7}$
$v^{p\pi}$	4.5	$u_{p\pi}$ $\frac{1}{7}$
ε_{2s}	-7.0	

ε_{2s} は、 $\varepsilon_{2p} = 0$ としたときの相対的な値

カットオフ関数 [3]

$$Q(r) = \begin{cases} 1 & (for\ r < r_1) \\ \frac{1}{2}(1 + \cos \frac{\pi(r-r_1)}{r_2-r_1}) & (for\ r_1 < r < r_2) \\ 0 & (for\ r_2 < r) \end{cases} \quad (2.29)$$

カットオフパラメーターは $r_1 = 3.6(\text{\AA})$ 、 $r_2 = 4.0(\text{\AA})$ である。

機能関数 [3]

$$R^{ss\sigma}(x) = e^{-x}(1 + x + \frac{x^2}{3}) \quad (2.30)$$

$$R^{sp\sigma}(x) = e^{-x}(x + \frac{x^2}{3}) \quad (2.31)$$

$$R^{pp\sigma}(x) = e^{-x}(-1 + x + \frac{x^2}{3}) \quad (2.32)$$

$$R^{pp\pi}(x) = e^{-x}(1 + x + \frac{x^2}{3}) \quad (2.33)$$

この式に原子間の距離 r を代入し求められた、 $(t_{ab}^{ss\sigma}, t_{ab}^{sp\sigma}, t_{ab}^{pp\sigma}, t_{ab}^{pp\pi}) (s_{ab}^{ss\sigma}, s_{ab}^{sp\sigma}, s_{ab}^{pp\sigma}, s_{ab}^{pp\pi})$ がタイトバインディングパラメータとなる。

2.1.5 ハミルトニアン行列の作成

作成したプログラムでやっていることは、波動関数に重なりがある 2 つの原子の座標を取り出して、それぞれの原子の $2s, 2p_x, 2p_y, 2p_z$ でつくられる 4×4 のハミルトニアン小行列の要素を計算し、その 4×4 の小行列を分子全体のハミルトニアン行列の対応する場所に入れてハミルトニアン行列をつくっている。そのできた行列を、DEIGAB というトランスファー行列とオーバーラップ行列を入力すると固有値と固有ベクトルの計算をするプログラムに入力して、値を得る。DEIGAB については 2.1.7 で説明する。

2つの原子 i, j のハミルトニアン小行列

$$H_{ij} = \begin{pmatrix} H_{s_i s_j} & H_{s_i p x_j} & H_{s_i p y_j} & H_{s_i p z_j} \\ H_{p x_i s_j} & H_{p x_i p x_j} & H_{p x_i p y_j} & H_{p x_i p z_j} \\ H_{p y_i s_j} & H_{p y_i p x_j} & H_{p y_i p y_j} & H_{p y_i p z_j} \\ H_{p z_i s_j} & H_{p z_i p x_j} & H_{p z_i p y_j} & H_{p z_i p z_j} \end{pmatrix}$$

分子全体のハミルトニアン行列は小行列 H_{ij} を用いて

$$H = \begin{pmatrix} H_{1\ 1} & H_{1\ 2} & H_{1\ 3} & H_{1\ 4} & H_{1\ 5} & H_{1\ 6} & \cdots & H_{1\ 60} \\ H_{2\ 1} & H_{2\ 2} & H_{2\ 3} & H_{2\ 4} & \cdots & \cdots & \cdots & H_{2\ 60} \\ H_{3\ 1} & H_{3\ 2} & H_{3\ 3} & H_{3\ 4} & \cdots & \cdots & \cdots & H_{3\ 60} \\ \vdots & \cdots & \cdots & \cdots & \cdots & \cdots & \cdots & \vdots \\ H_{60\ 1} & H_{60\ 2} & H_{60\ 3} & H_{60\ 4} & \cdots & \cdots & \cdots & H_{60\ 60} \end{pmatrix}$$

であらわされる。

2.1.6 行列の要素の計算

- 2つの原子の座標 $(x_i, y_i, z_i), (x_j, y_j, z_j)$ から原子間の距離 r_{ij} を求める。
- 式 (2.29) で r_{ij} がカットオフディスタンス r_2 より大きいものは、値を 0 とするので計算しない。
- 距離 r_{ij} からタイトバインディングパラメーターを計算する。
- 以下の式から原子積分の値を計算する。

$$H_{s_i s_j} = t^{ss\sigma}(r) \quad (2.34)$$

$$H_{s_i p a_j} = t^{sp\sigma}(r)(\cos \theta) \quad (2.35)$$

$$\cos \theta_a = \frac{a_i - a_j}{r}, \cos \theta_b = \frac{b_i - b_j}{r} \quad (2.36)$$

$$H_{p a_i p a_j} = t^{pp\sigma}(r)(-\cos^2 \theta) + t^{pp\pi}(r)(1 - \cos^2 \theta) \quad (2.37)$$

$$H_{p a_1 p b_2} = t^{pp\sigma}(r) \cos \theta_a \cos \theta_b + t^{pp\pi}(r) \left(\vec{a} - \left(\vec{a} \cdot \frac{\vec{r}}{r} \right) \frac{\vec{r}}{r} \right) \cdot \left(\vec{b} - \left(\vec{b} \cdot \frac{\vec{r}}{r} \right) \frac{\vec{r}}{r} \right) \quad (2.38)$$

r は原子間の距離、 a, b は x, y, z のいずれかで、 \vec{a}, \vec{b} はその x, y, z どれかの単位ベクトルである。

2.1.7 DEIGAB(付録 p.35) の説明 (固有値、固有ベクトルの計算)

固有値を得るとき、行列の方程式

$$Ax = \lambda Mx \quad (2.39)$$

を解く。 A は対称行列、 M は正値対称行列である。正値対称行列 M は $M = U^T U$ とコレスキー分解できる。 [5] ただし、 U は上三角行列 U^T は下三角行列である。 $z = Ux$ とおくと、 M をコレスキー分解すると式 (2.34) は

$$Ax = \lambda U^T Ux \quad (2.40)$$

となる。コレスキー分解とは、行列 M を $U^T U$ という、2つの行列に分解するもので、

$$\left\{ \begin{array}{l} u_{ii} = \sqrt{a_{ii} - \sum_{k=1}^{i-1} u_{ik}^2} \quad (i > 1) \quad u_{11} = \sqrt{m_{11}} \\ u_{ji} = \frac{(m_{ij} - \sum_{k=1}^{j-1} l_{ik} l_{jk})}{l_{ii}} \quad (i > j) \quad l_{1i} = \frac{a_{1i}}{l_{11}} \end{array} \right\} \quad (2.41)$$

で得られる。 $z = Ux$ として、式 (2.35) の両辺に左から $(U^T)^{-1}$ をかけると、

$$(U^T)^{-1} A U^{-1} z = \lambda z \quad (2.42)$$

となる。 $B = (U^T)^{-1} A U^{-1}$ とすれば、

$$Bz = \lambda z \quad (2.43)$$

となる。つまり、行列 B の固有値と固有ベクトルを求めればよい [5](p.215)。また、この式の固有ベクトル z はもとの式の固有ベクトル x とは違うが、 x は $z = Ux$ に U^{-1} をかけて、 $x = U^{-1}z$ で求められる。この、固有値、固有ベクトルの計算は、行列 B の形により計算速度がかわってくる。ここでは、実対称行列であるので、ヤコビ法、ハウスホルダ法・二分法・逆反復法、二分法・同時逆反復法、 QL 法、divide and conquer 法がある [5]。計算は行列 B が密な行列であるほど、時間がかかる。 M が単位行列であり、 A が帯行列の場合には、 B が A と同じ帯幅の帯行列となるために、帯行列に対する対角化が可能である。しかし、 M が A と同じような帯行列である場合は、 B の帯幅は大きくなる。実際に

$$M = \begin{pmatrix} 1 & a & 0 & 0 \\ a & 1 & b & 0 \\ 0 & b & 1 & c \\ 0 & 0 & c & 1 \end{pmatrix} \quad (2.44)$$

をコレスキー分解してみると、

$$U = \begin{pmatrix} 1 & a & 0 & 0 \\ 0 & \sqrt{1-a^2} & b & 0 \\ 0 & 0 & \sqrt{1-b^2} & c \\ 0 & 0 & 0 & \sqrt{1-c^2} \end{pmatrix} \quad (2.45)$$

ここではまだ帯幅は大きくなっていないが、この逆行列は、

$$U^{-1} = \begin{pmatrix} 1 & \frac{-a}{\sqrt{1-a^2}} & \frac{ab}{\sqrt{1-a^2}\sqrt{1-b^2}} & \frac{-abc}{\sqrt{1-a^2}\sqrt{1-b^2}\sqrt{1-c^2}} \\ 0 & \frac{1}{\sqrt{1-a^2}} & \frac{-b}{\sqrt{1-a^2}\sqrt{1-b^2}} & \frac{bc}{\sqrt{1-a^2}\sqrt{1-b^2}\sqrt{1-c^2}} \\ 0 & 0 & \frac{1}{\sqrt{1-b^2}} & \frac{-c}{\sqrt{1-b^2}\sqrt{1-c^2}} \\ 0 & 0 & 0 & \frac{1}{\sqrt{1-c^2}} \end{pmatrix} \quad (2.46)$$

というように、上三角行列で密なものになっている。同様に、 $(U^T)^{-1}$ も下三角行列で密になり、 $(U^T)^{-1}AU^{-1}$ は密な行列になってしまう。このように行列 B が、コレスキー分解の際に元の行列 A, M よりもかなり密な行列になってしまうために、計算時間を要してしまう。これらの方法では計算時間をオーダー N にすることはできない。このことから、分子軌道法を使った計算方法では計算時間の短縮に限界がある。

2.2 リカーゾン法

2.2.1 オーバーラップ行列 $S = 1$ の場合のリカーゾン法

- 波動関数を束ねて、リニアチェーンのようにハミルトニアン行列を最初から三重対角化行列にし、計算を速くする。また、つくられるハミルトニアン行列の次元は、対称性を考慮すれば元になる分子の波動関数の数より少なくなる。対称性がなければ、次元は同じとなる。

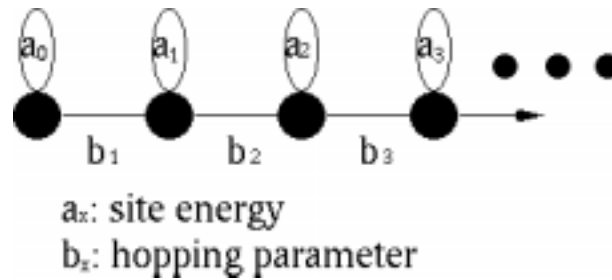


図 2.5 リニアチェーン⁵

新たに構成された波動関数は、連続して直線的に存在する軌道 $\{u_0, u_1, \dots\}$ と、2つの実数のパラメーターである $\{a_0, a_1, \dots\}$ と $\{b_1, b_2, \dots\}$ で、

$$\begin{cases} \mathbf{H} \mathbf{u}_n = a_n \mathbf{u}_n + b_{n+1} \mathbf{u}_{n+1} + b_n \mathbf{u}_{n-1} \\ a_n = \mathbf{u}_n^\dagger \mathbf{S} \mathbf{H} \mathbf{u}_n \\ b_{n+1}^2 = [(\mathbf{H} - a_n) \mathbf{u}_n - b_n \mathbf{u}_{n-1}]^\dagger \mathbf{S} [(\mathbf{H} - a_n) \mathbf{u}_n - b_n \mathbf{u}_{n-1}] \end{cases} \quad (2.47)$$

のようにあらわされる。

図のような、隣接するもの以外は直交化されているモデルをつくることで、三重対角化された以下のようなハミルトニアン行列が作ることが可能になる。

$$\begin{pmatrix} a_0 & b_1 & 0 & 0 & \cdots \\ b_1 & a_1 & b_2 & 0 & \cdots \\ 0 & b_2 & a_2 & b_3 & \cdots \\ 0 & 0 & b_3 & a_3 & \cdots \\ \vdots & \vdots & \vdots & \vdots & \ddots \end{pmatrix}$$

この三重対角化行列で表されるモデルの状態密度 $n_0(E)$ はグリーン関数の虚部により、

$$n_0(E) = -Im(1/E - a_0 - b_1^2/[E - a_1 - b_2^2/(E - a_2 \cdots)])/\pi \quad (2.48)$$

⁵ファイル名 : ./eps/linear-chain.eps

のように簡単な計算式 [1] で表される。高速に計算できることが予測される。ここで
の E は微少で一定である虚数部を含んでいる。この虚数部の大きさを変えることで
状態密度のピークの幅を変えることができる。

2.2.2 オーバーラップ行列 S がある場合のリカージョン法

最初の波動関数を決める (特定の原子基底である必要はない) その波動関数と重なり
がある波動関数の重ね合わせで次の波動関数をつくる。さらにその波動関数から
直交化されていない波動関数の重ね合わせで次の波動関数をつくる。それを分子全
体に適用する。つくられた新たな波動関数で新たなハミルトニアン行列をつくる。
このモデルで新たにつくられた波動関数では隣接する波動関数以外は直交化されて
いるため、三重対角化行列を実現することができる。三重対角化行列の固有値、固
有ベクトルの計算時間は N^2 に比例する [5]。

オーバーラップ行列 S の要素は、

$$[S]_{mn} = \int \phi_m^*(r) \phi_n(r) d\tau \quad (2.49)$$

で定義される。

また、ハミルトニアン行列 H は次のように定義される。

$$\mathcal{H}\phi_n(r) = \sum_{m=0}^{\infty} H_{mn} \phi_m(r) \quad (2.50)$$

$$\mathbf{H} = [H_{mn}] \quad (2.51)$$

$$\mathcal{H}_{mn} = \int \phi_m^*(r) \mathcal{H}\phi_n(r) d\tau \quad (2.52)$$

$$\mathcal{H}_{mn} = [SH]_{mn} \quad (2.53)$$

$$\mathbf{H} = \mathbf{S}^{-1}[\mathcal{H}_{mn}] \quad (2.54)$$

最初の状態 \mathbf{u}_0 は任意に決めることができる。 \mathbf{u}_0 を一般化するために

$$\mathbf{u}_0 \mathbf{S} \mathbf{u}_0 = 1 \quad (2.55)$$

とする。その最初の状態 \mathbf{u}_0 のサイトエネルギーである a_0 は

$$a_0 = \mathbf{u}_0^\dagger \mathbf{S} \mathbf{H} \mathbf{u}_0 \quad (2.56)$$

であらわされる。

また、 $b_1 \mathbf{u}_1$ は

$$b_1 \mathbf{u}_1 = (\mathbf{H} - a_0) \mathbf{u}_0 \quad (2.57)$$

であり、 $\mathbf{u}_1^\dagger \mathbf{S} \mathbf{u}_1 = 1$ であるので、

$$b_1^2 = b_1 \mathbf{u}_1^\dagger \mathbf{S} b_1 \mathbf{u}_1 = [(\mathbf{H} - a_0) \mathbf{u}_0]^\dagger \mathbf{S} [(\mathbf{H} - a_0) \mathbf{u}_0] \quad (2.58)$$

となる。これで b_1 が求まる。(2.57) 式を b_1 でわると、

$$\mathbf{u}_1 = (\mathbf{H} - a_0) \mathbf{u}_0 / b_1 \quad (2.59)$$

となり、 \mathbf{u}_1 が求まる。

$n > 1$ での一般的な式は、

$$\mathbf{H} \mathbf{u}_n = a_n \mathbf{u}_n + b_{n+1} \mathbf{u}_{n+1} + b_n \mathbf{u}_{n-1} \quad (2.60)$$

である。 a_n は

$$a_n = \mathbf{u}_n^\dagger \mathbf{S} \mathbf{H} \mathbf{u}_n \quad (2.61)$$

さらに、

$$b_{n+1} \mathbf{u}_{n+1} = (\mathbf{H} - a_n) \mathbf{u}_n - b_n \mathbf{u}_{n-1} \quad (2.62)$$

よって、 b_{n+1}^2 は $\mathbf{u}_{n+1}^\dagger \mathbf{S} \mathbf{u}_{n+1} = 1$ であるので、

$$b_{n+1}^2 = [(\mathbf{H} - a_n) \mathbf{u}_n - b_n \mathbf{u}_{n-1}]^\dagger \mathbf{S} [(\mathbf{H} - a_n) \mathbf{u}_n - b_n \mathbf{u}_{n-1}] \quad (2.63)$$

となる。したがって、 \mathbf{u}_{n+1} は

$$\mathbf{u}_{n+1} = [(\mathbf{H} - a_n) \mathbf{u}_n - b_n \mathbf{u}_{n-1}] / b_{n+1} \quad (2.64)$$

である。

2.2.3 正方格子の場合

正方格子の場合で考えてみる。一つの原子に一つの波動関数のみと考え、隣接する原子以外では波動関数が直交化されているものとする。

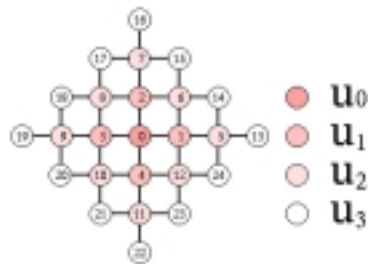


図 2.6 n が 3 までの正方格子⁶

⁶ファイル名 : ./eps/rec.eps

まず、最初の波動関数を 0 番の原子にとってみる。この波動関数を u_0 とすると、次の u_1 は u_0 の隣にある四つの波動関数 $\phi_1, \phi_2, \phi_3, \phi_4$ で構成される。 u_2 はさらにその外側にある隣の波動関数 $\phi_5 \sim \phi_{12}$ で構成される。次はさらにその外側の波動関数 $\phi_{13} \sim \phi_{24}$ で構成されることになる。これを、分子全体に適用するまで続ける。このモデルで、 n が 3 までのときの a_n, b_n を計算してみる。

t はホッピングパラメーターで、この正方格子のモデルではすべての t が等価であると考えて計算式をつくった。

$$t_{ij} = \langle \phi_i | \mathcal{H} | \phi_j \rangle = t \quad (2.65)$$

$$\mathbf{u}_0 = (\phi_0) \quad (2.66)$$

$$a_0 = \mathbf{u}_0 \mathbf{S} \mathbf{H} \mathbf{u}_0 \quad (2.67)$$

n が 1 のとき

\mathbf{u}_1 を構成する波動関数は $\phi_1, \phi_2, \phi_3, \phi_4$ である。したがって、 $b_1 \mathbf{u}_1$ は、

$$b_1 \mathbf{u}_1 = \begin{pmatrix} \phi_1 t \\ \phi_2 t \\ \phi_3 t \\ \phi_4 t \end{pmatrix} \quad (2.68)$$

b_1^2 は、

$$b_1^2 = [(\mathbf{H} - a_0) \mathbf{u}_0]^\dagger \mathbf{S} [(\mathbf{H} - a_0) \mathbf{u}_0] \quad (2.69)$$

この式に、 $b_1 \mathbf{u}_1 = (\mathbf{H} - a_0) \mathbf{u}_0$ を代入すると、

$$b_1^2 = (b_1 \mathbf{u}_1)^\dagger \mathbf{S} (b_1 \mathbf{u}_1) \quad (2.70)$$

になる。この正方格子のモデルでは \mathbf{u}_n を構成するそれぞれの波動関数が直交しているので、 \mathbf{S} は

$$\mathbf{S} = \begin{pmatrix} 1 & 0 & \cdots & 0 \\ 0 & 1 & \cdots & 0 \\ \vdots & \vdots & \ddots & \vdots \\ 0 & 0 & \cdots & 1 \end{pmatrix} \quad (2.71)$$

のようになり、 b_1^2 の値は、そのそれぞれの要素の 2 乗の合計となる。よって、

$$b_1^2 = (\phi_1 t, \phi_2 t, \phi_3 t, \phi_4 t) \mathbf{S} \begin{pmatrix} \phi_1 t \\ \phi_2 t \\ \phi_3 t \\ \phi_4 t \end{pmatrix} = 4t^2 \quad (2.72)$$

b_1^2 は正値をとるので、

$$b_1 = 2t \quad (2.73)$$

$b_1 \mathbf{u}_1$ を上で求めた b_1 で割ると \mathbf{u}_1 が求められる。

$$\mathbf{u}_1 = \begin{pmatrix} \frac{\phi_1}{2} \\ \frac{\phi_2}{2} \\ \frac{\phi_3}{2} \\ \frac{\phi_4}{2} \end{pmatrix} \quad (2.74)$$

$$a_1 = \mathbf{u}_1^\dagger \mathbf{S} \mathbf{H} \mathbf{u}_1 = \left(\frac{\phi_1}{2}, \frac{\phi_2}{2}, \frac{\phi_3}{2}, \frac{\phi_4}{2} \right) \mathbf{S} \mathbf{H} \begin{pmatrix} \frac{\phi_1}{2} \\ \frac{\phi_2}{2} \\ \frac{\phi_3}{2} \\ \frac{\phi_4}{2} \end{pmatrix} = a_0 \quad (2.75)$$

n が 2 のとき

\mathbf{u}_2 を構成する波動関数のうち $\phi_6, \phi_8, \phi_{10}, \phi_{12}$ は、 \mathbf{u}_1 を構成する波動関数の 2 つと重なりをもつ。したがって、ホッピングパラメーターは、その合計であるから次のようになる。

$$b_2 \mathbf{u}_2 = \begin{pmatrix} \phi_5 \frac{t}{2} \\ \phi_6 \left(\frac{t}{2} + \frac{t}{2} \right) \\ \phi_7 \frac{t}{2} \\ \phi_8 \left(\frac{t}{2} + \frac{t}{2} \right) \\ \phi_9 \frac{t}{2} \\ \phi_{10} \left(\frac{t}{2} + \frac{t}{2} \right) \\ \phi_{11} \frac{t}{2} \\ \phi_{12} \left(\frac{t}{2} + \frac{t}{2} \right) \end{pmatrix} \quad (2.76)$$

b_2^2 は、

$$b_2^2 = \left(\phi_5 \frac{t}{2}, \phi_6 t, \phi_7 \frac{t}{2}, \phi_8 t, \phi_9 \frac{t}{2}, \phi_{10} t, \phi_{11} \frac{t}{2}, \phi_{12} t \right) \mathbf{S} \begin{pmatrix} \phi_5 \frac{t}{2} \\ \phi_6 t \\ \phi_7 \frac{t}{2} \\ \phi_8 t \\ \phi_9 \frac{t}{2} \\ \phi_{10} t \\ \phi_{11} \frac{t}{2} \\ \phi_{12} t \end{pmatrix} = 5t^2 \quad (2.77)$$

したがって \mathbf{u}_2 は、

$$\mathbf{u}_2 = \begin{pmatrix} \frac{\phi_5}{2\sqrt{5}} \\ \frac{\phi_6}{\sqrt{5}} \\ \frac{\phi_7}{2\sqrt{5}} \\ \frac{\phi_8}{\sqrt{5}} \\ \frac{\phi_9}{2\sqrt{5}} \\ \frac{\phi_{10}}{\sqrt{5}} \\ \frac{\phi_{11}}{2\sqrt{5}} \\ \frac{\phi_{12}}{\sqrt{5}} \end{pmatrix} \quad (2.78)$$

a_2 は、

$$a_2 = \mathbf{u}_2^\dagger \mathbf{S} \mathbf{H} \mathbf{u}_2 = a_0 \quad (2.79)$$

n が 3 のとき

$$b_3 \mathbf{u}_3 = \begin{pmatrix} \phi_{13} \frac{t}{2\sqrt{5}} \\ \phi_{14} \left(\frac{t}{2\sqrt{5}} + \frac{t}{\sqrt{5}} t \right) \\ \phi_{15} \left(\frac{t}{2\sqrt{5}} + \frac{t}{\sqrt{5}} t \right) \\ \phi_{16} \frac{t}{2\sqrt{5}} \\ \phi_{17} \left(\frac{t}{2\sqrt{5}} + \frac{t}{\sqrt{5}} t \right) \\ \phi_{18} \left(\frac{t}{2\sqrt{5}} + \frac{t}{\sqrt{5}} t \right) \\ \vdots \\ \phi_{24} \left(\frac{t}{2\sqrt{5}} + \frac{t}{\sqrt{5}} t \right) \end{pmatrix} \quad (2.80)$$

$$b_3^2 = \left(\phi_{13} \frac{t}{2\sqrt{5}}, \phi_{14} \frac{3t}{2\sqrt{5}}, \phi_{15} \frac{3t}{2\sqrt{5}}, \dots, \phi_{24} \frac{3t}{2\sqrt{5}} \right) \mathbf{S} \begin{pmatrix} \phi_{13} \frac{t}{2\sqrt{5}} \\ \phi_{14} \frac{3t}{2\sqrt{5}} \\ \phi_{15} \frac{3t}{2\sqrt{5}} \\ \vdots \\ \phi_{24} \frac{3t}{2\sqrt{5}} \end{pmatrix} = \frac{19}{5} t^2 \quad (2.81)$$

$$\mathbf{u}_3 = \begin{pmatrix} \phi_{13} \frac{1}{2\sqrt{19}} \\ \phi_{14} \frac{3}{2\sqrt{19}} \\ \phi_{15} \frac{3}{2\sqrt{19}} \\ \vdots \\ \phi_{24} \frac{3}{2\sqrt{19}} \end{pmatrix} \quad (2.82)$$

$$a_3 = \mathbf{u}_3^\dagger \mathbf{S} \mathbf{H} \mathbf{u}_3 = a_0 \quad (2.83)$$

このように計算していき、チェーンモデルのトランスファー行列をつくる。求めた a_n, b_n を 2.40 式に入れて状態密度が求められる。 $t = 1, a_0 = 0$ として、原子が 144 個ある n が 8 までの正方格子で計算した結果を以下に示す。

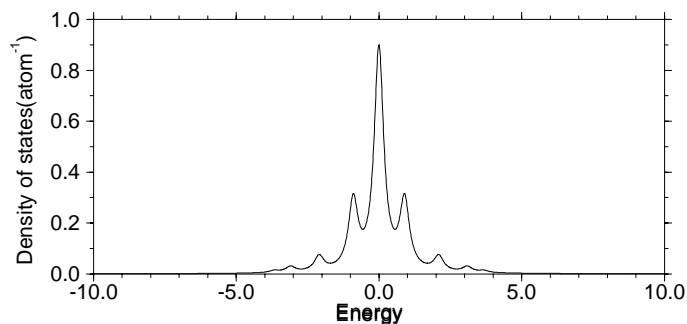


図 2.7 n が 8 までの正方格子の状態密度 ⁷

表 2.2: a_n, b_n の値

n	a_n	b_n
0	0.0	
1	0.0	1.00000
2	0.0	2.23606
3	0.0	1.94935
4	0.0	1.90567
5	0.0	1.90727
6	0.0	1.91762
7	0.0	1.92801
8	0.0	1.93669

⁷ファイル名 : ./eps/seihou.eps

第 3 章

結果及び考察

計算は C_{60} のエネルギー固有値と状態密度について、タイトバインディング計算で行った。また、リカージョン法については計算プログラムが未完成のため、計算の考察をした。

3.1 任意の座標に対するタイトバインディング計算

C_{60} についてエネルギー固有値と固有ベクトルを計算をした。原子の座標から計算をしているが、入力した座標は Tersoff ポテンシャルで最適化されているものを使用した。

C_{60} の分子軌道は 60 ある炭素原子の 240 の価電子帯の原子軌道から構成されるので 240 のエネルギー固有値を持つ。計算結果を見るといくつかエネルギー固有値が縮重している。縮重とは、いくつかのエネルギー固有値が同じ値になっている状態で、重なっているエネルギー固有値の数を縮重度という。 C_{60} では、最大で 5 重の縮重が見られる。エネルギー固有値と縮重度の関係を表したものを図 3.1, 3.2 に示す。(a) は 2 章の式 (2.21) から式 (2.33) 及び表 2.1 にかかれた原子間の距離の関数をタイトバインディングパラメーターとして計算したもので、同じタイトバインディングパラメーターを使用して計算された他の論文 [3] の C_{60} のエネルギー固有値の結果と一致した結果を得られた。また、(b) は、[2] で用いられているパラメーターが定数であるものを使用してカットオフディスタンス $1.6(\text{\AA})$ で計算したものである。

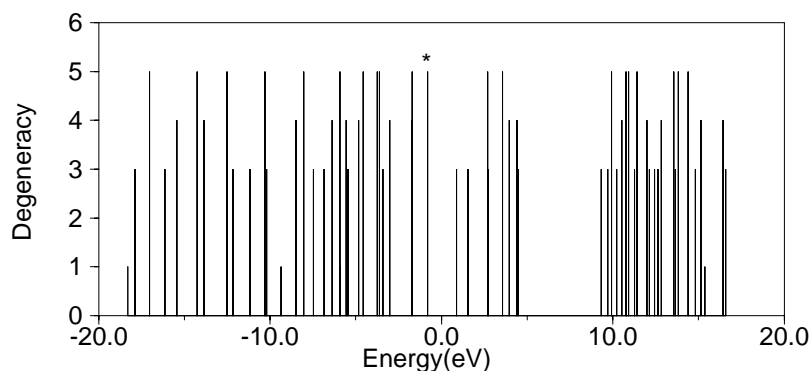


図 3.1 (a) 距離の関数であるタイトバインディングパラメーター¹

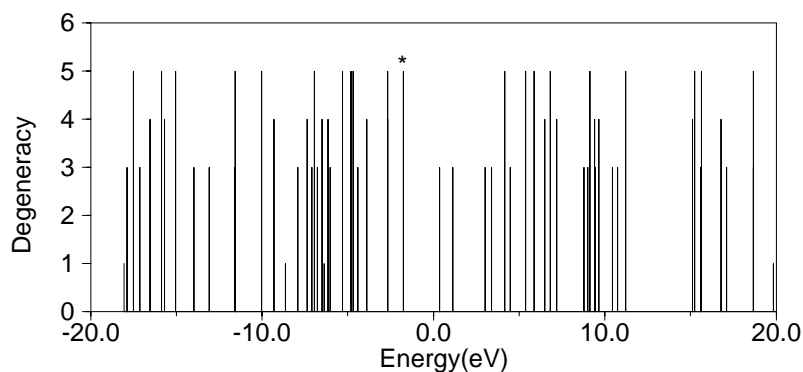


図 3.2 (b) 定数であるタイトバインディングパラメーター²

第一原理計算で計算された C_{60} のエネルギー固有値と比較すると、(a)の方がよく一致している。フラーレンのタイトバインディングパラメーターには、式(2.21)から式(2.33)及び表2.1のパラメータ[3]で計算する方が、より正確な値になるといえる。

縮重度であるが、分子のように有限の大きさをもった物体は、何かある一点のまわりの対称操作に関してハミルトニアンは不変である。この不変になる操作をしたときお互いに等価な波動関数のエネルギー固有値は同じになり、縮重するという。この対称操作ができることが縮重度としてあらわれ、分子の場合は点群の既約表現の縮重度としてあらわれる。 C_{60} の5重の縮重は、 C_{60} が正二十面体群(I_h)をもつためである。正二十面体群は6本の5回転軸、10本の3回転軸、15本の2回転軸をもつ。また、空間反転をもつ。空間反転とは、座標 r を $-r$ に変換する操作である。この、正二十面体群と空間反転をあわせた群を I_h と呼ぶ。

¹ファイル名：./eps/shuku.eps

²ファイル名：./eps/shu2.eps

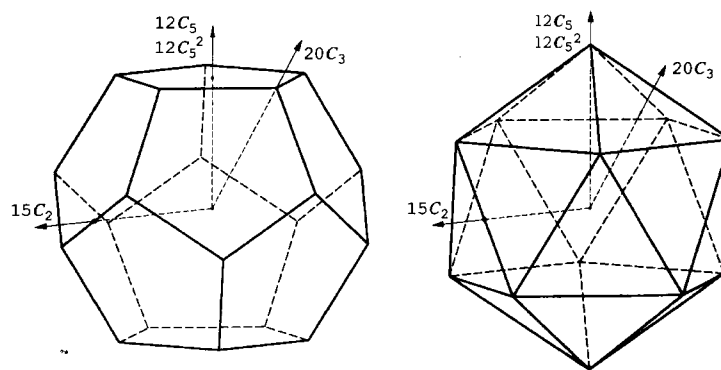


図 3.3 正二十面体群³

C_{60} には I_h 対称性があるため 3 重、4 重、5 重の縮重がみられる。特に、2 重の縮重はない。

炭素原子あたり価電子が 4 個で、60 個の原子があるので、240 の電子を持つ。この電子はエネルギー準位の低い分子軌道から占有していき、1 つの分子軌道には上向きと下向きのスピンの 2 つの電子が占有するので、実際に電子が占有しているのはエネルギーが最も低い分子軌道から 120 番目のエネルギー固有値のところまでである。この、電子が占有している最もエネルギーが高いところ (Highest occupied molecular orbital) は図では、5 重に縮重している * である。縮重している 5 つすべてに電子は占有している。また、電子がない最もエネルギーが低い分子軌道 (Lowest unoccupied molecular orbital) は 3 重に縮重しているところで、(a) の HOMO と LUMO のエネルギーギャップは $2.0(eV)$ であった。同じタイトバインディングパラメーターを使った計算結果と一致し、第一原理計算の結果の $1.9(eV)$ と非常に近い値になった。(b) のエネルギーギャップは、 $2.1(eV)$ で、こちらの結果でも、(a) の方が良い結果を得ている。

また、状態密度をエネルギー固有値と固有ベクトルから求めた。固有ベクトルは、あるエネルギー固有値に対して、分子を構成する原子のそれぞれの原子軌道が持つ成分を表していて、エネルギー固有値 E_i に対して C_i であらわす。オーバーラップ行列 S がある場合は、 $C^\dagger S C = 1$ にならなければならない。 C_{60} の場合、 E_i に対応する固有ベクトルは次のように表される、

$$C_i = (C_{is_1}, C_{ip_{x1}}, C_{ip_{y1}}, C_{ip_{z1}}, C_{is_2}, C_{ip_{x2}}, C_{ip_{y2}}, \dots, C_{is_{60}}, C_{ip_{x60}}, C_{ip_{y60}}, C_{ip_{z60}}) \quad (3.1)$$

状態密度は、出てきた固有ベクトルの値を、エネルギー固有値に対して幅を持つようにするため、カウス関数を用い、その曲線の重ね合わせで状態密度を表した。

³ファイル名 : ./eps/taishou.eps

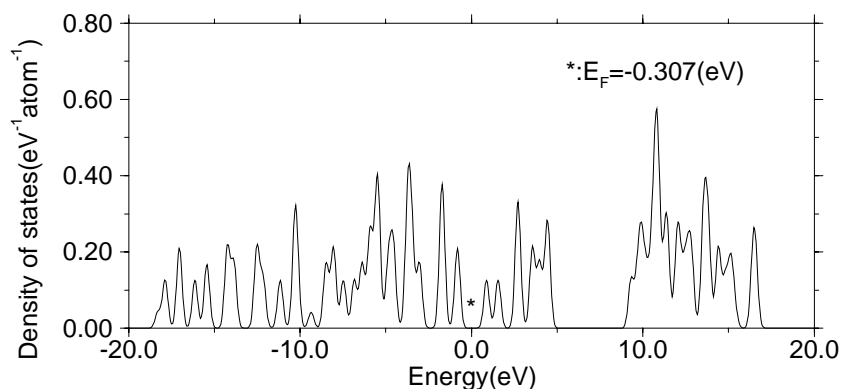


図 3.4 C_{60} の状態密度⁴

図 3.4 では、ガウス関数 $e^{-(E-E_i)^2/a^2}$ の a の値を $0.22(\text{eV})$ とした。この値は平均的な分子軌道の level 間隔におけばよい。

状態密度は、炭素原子 1 個あたりの状態密度である。1 つの原子には $2s, 2p_x, 2p_y, 2p_z$ の 4 つの原子軌道があるので、状態密度の曲線全体を積分をすると 4 になるはずである。実際に計算して得られた曲線を積分した結果も 4 となった。フェルミエネルギー E_F はエネルギーの低い方から積分して 2 になった図 3.4 の * である。

表 3.1: (b) のタイトバインディングパラメーター [2]

t	値 (eV)	s	値
t_{ss}^σ	-6.769	s_{ss}^σ	0.212
t_{sp}^σ	-5.580	s_{sp}^σ	0.102
t_{pp}^σ	-5.037	s_{pp}^σ	0.146
t_{pp}^π	-3.033	s_{pp}^π	0.129
ε_{2s}	-8.868		

ε_{2s} は, $\varepsilon_{2p} = 0$ とした時の相対的な値

分子軌道法では C_{60} の場合 240×240 の行列ができる。計算時間は、行列の次元を N とすると、 N^3 に比例する。実際の C_{60} での計算時間は cone を使用した場合 6.1 秒であった。このことから、原子数 1000 ($N = 4000$) で 28240 秒、原子数 10000 ($N = 40000$) で 28240740 秒の計算時間がかかることが予測される。原子数が多くなった場合固有値を求めるのに非常に時間がかかる。

⁴ファイル名: ./eps/jmlen.eps

3.2 リカーゾン法

3.2.1 ハミルトニアン行列の作成

C_{60} に重なり行列がある場合のリカーゾン法を適用する。ここでは、ハミルトニアン行列を作るプログラムが未完成であるので、ハミルトニアン行列は途中までしか作られていない。

最初の波動関数は、任意にとった原子の番号を 1 として、その原子にある 4 つの原子軌道の波動関数 ($\phi_{2s_1}, \phi_{2px_1}, \phi_{2py_1}, \phi_{2pz_1}$) の重ね合わせで構成した。

$$\mathbf{u}_0 = \begin{pmatrix} \phi_{2s_1} \\ \phi_{2px_1} \\ \phi_{2py_1} \\ \phi_{2pz_1} \end{pmatrix} \quad (3.2)$$

この場合、次の波動関数 \mathbf{u}_1 は、 \mathbf{u}_0 を構成するすべての波動関数と重なりを持つ波動関数で構成される。最近接の原子以外は直交化していると考え、 \mathbf{u}_1 は原子 1 に隣接する 3 つの原子を 2,3,4 とするとそれらの原子の 12 個の原子軌道の波動関数 $\phi_{2s_2}, \phi_{2px_2}, \phi_{2py_2}, \phi_{2pz_2}, \phi_{2s_3}, \phi_{2px_3}, \phi_{2py_3}, \phi_{2pz_3}, \phi_{2s_4}, \phi_{2px_4}, \phi_{2py_4}, \phi_{2pz_4}$ で構成される。同様に \mathbf{u}_n はつくりることができる。この論文で採用したタイトバインディングパラメータのカットオフディスタンス 4.0\AA を使った場合、1 つの原子にある原子軌道は同じ位置にあるので、原子をひとかたまりでみる。作られたプログラムでは、 C_{60} で図 3.5 のように 4 つの基底しか作ることができなかった。 C_{60} では分子を構成する原子の価電子帯に合計 240 の原子軌道があるので 240 の基底が必要である。

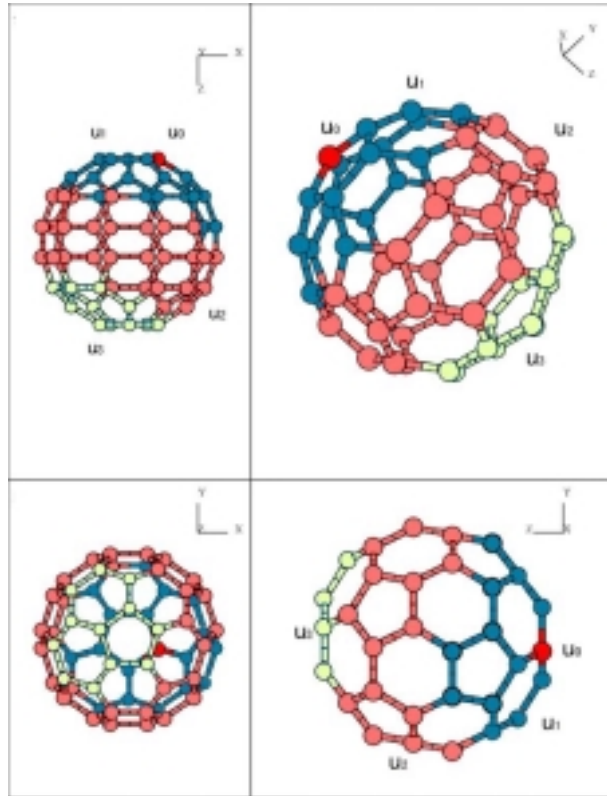


図 3.5 C_{60} のモデル⁵

カットオフディスタンス $4.0(\text{\AA})$ では、一つの基底の中にある波動関数が多くなる。

u_0 から u_3 の 4 つの新たな波動関数で構成されていると考えると、このモデルのハミルトニアン行列は 4×4 の行列になる。

$$H = \begin{pmatrix} a_0 & b_1 & 0 & 0 \\ b_1 & a_1 & b_2 & 0 \\ 0 & b_2 & a_2 & b_3 \\ 0 & 0 & b_3 & a_3 \end{pmatrix} \quad (3.3)$$

また、カットオフディスタンスを $1.6(\text{\AA})$ としたときで、作られたプログラムでのリカージョン法のモデルを図 3.6 に示す。

⁵ファイル名 : ./eps/chain1.eps

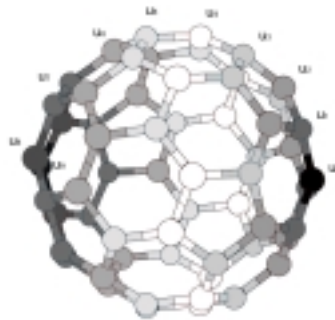


図 3.6 カットオフディスタンス 1.6(Å) のモデル⁶

この時、このモデルの波動関数は u_0 から u_9 までで構成される。したがって基底の数は 10 となる。この u_9 で基底を切ってしまうては正しい結果を得ることはできない。 $u_n = 0$ になるまで繰り返す必要がある。基底の数は最初の基底の取り方によってかわる。この最初の基底を対称性が最も低いようにとると、240 個の基底がとれるはずである。

本研究で作成したプログラムでは、 C_{60} 分子の場合、カットオフディスタンス 1.6(Å) で基底を 10 個までしか作ることができなかった。作られたモデルから状態密度を計算するプログラムを作成したが、モデルを作るプログラムが未完成なためにこのプログラムが正しい動作をしているか検証することはできなかった。

チェーンモデルを作るプログラムは、基底を最後まで作ることができるプログラムに改良する必要がある。また、チェーンモデルではハミルトニアン行列の次元を小さくしすぎないために最初の波動関数 u_0 をうまくとらなければならない。

⁶ファイル名 : ./eps/c60.eps

第 4 章

結論

タイトバインディングによる分子軌道法では、行列の固有方程式の計算時間を短縮できないために、原子の数が非常に多いと計算時間がかかりすぎるという結果を得た。このことから、カーボンナノチューブのような原子の数が多い分子では、オーダー N 法であるリカージョン法による計算は非常に有用であるといえる。しかし、リカージョン法では対称性の高い分子では、最初の基底を最も対称性の低いものにしなければ、正しい状態密度を計算できない。

この実験では、リカージョン法による結果を出すことができなかつたため、分子軌道法による結果を再現することができなかつた。

これからの課題として、リカージョン法によるプログラムを完成させ、実際に計算をし、チェーンモデルの最初の u_0 の良い取り方を考える必要がある。この最初の u_0 は状態密度を正しく計算する上で非常に重要である。

【謝辞】本研究を進めるにあたって多大な御指導、御助言を頂きました電気通信大学電子工学科齋藤理一郎助教授に心よりお礼申し上げます。また、本研究に数々の有益な御助言を頂いた木村忠正教授、湯郷成美助教授、一色秀夫助手に深く感謝申し上げます。また、研究活動とともにし、多くの援助をいただいた八木将志氏、松尾竜馬氏、山岡寛明氏、田代哲正氏に深く感謝致します。そして、数々の御援助を頂いた木村研究室、湯郷研究室の大学院生、卒研生の方々に感謝致します。

参考文献

- [1] R. Haydock, Solid state Physics vol 35, ed F. seits, D. Turnbull and H. Ehrenreich (New York academic) 216 (1980). *The recursion method and its applications* Editors D.G. Petitfor and D.L. Weaire (Springer Verlag), Spronger Series in Solid State Science **58** (1984).
- [2] 齋藤 理一郎 著 「量子物理学」 培風館
- [3] Okada 東京工業大学博士論文
- [4] 小野寺 嘉孝 著 「群論入門」 裳華房
- [5] 小国 力 編著 「行列計算ソフトウェア」 丸善株式会社
- [6] 齋藤 弥八 坂東 俊治 著 「カーボンナノチューブの基礎」 コロナ社

【付録】 プログラムソース

1. ハミルトニアン行列をつくるプログラム

入力ファイル : c60.xyz 原子の座標データ
 : SIZES プログラムのパラメータ (コンパイルに必要)
 AN: 原子数, NSIZE: 原子軌道数

出力ファイル : Hmn60.dat H 行列
 : Smn60.dat S 行列

```
c      C60 のエネルギーバンドの計算
c
c      Rxyz: 座標の入った配列
c      Hmn: ハミルトニアン行列
c      E: エネルギー固有値
c
c      型
c
c      implicit real*8(a-z)
c      integer num,snum,cou1,cou2,k,l,o,sho1,sho2,n,nsize,ne,nv,
c      #      A_N,AN,CHECK
c      CHARACTER*20 DUM_CHA
c      INCLUDE 'SIZES'
c      parameter(
c      #      AN=60,
c      #      NSIZE=240)
c      dimension Hehe(4,4),Sese(4,4),Rxyz(AN,3),
c      #      Hmn(NSIZE,NSIZE),Smn(NSIZE,NSIZE)
c
c      パラメーター
c
c      parameter(
c      隣合う原子間の距離の基準
c      #      LENA=4.0,
c      e2p と e2s の値
c      #      e2p=0.0,
c      #      e2s=(-7.0),
c      #      EPS= 1.0D-24)
c      n=240
c      ne=240
c      nv=240
c      LENb_2=3.6*3.6
c
c      基準の原子間の距離の2乗
c      LENA_2=LENA*LENA
c
c      行列の初期化
c      DO 1 cou1=1,NSIZE
c          DO 2 cou2=1,NSIZE
c              Hmn(cou1,cou2)=0.
c              Smn(cou1,cou2)=0.
c      2      CONTINUE
c      1      CONTINUE
c
c      原子の座標の読み込み
c
c      open(15,FILE='c60.xyz',
c      #      status='old')
c      rewind 15
c      read(15,*) A_N
c      write(*,*) A_N
c      DO 10 cou1=1,AN
c          read(15,*) DUM_CHA,Rxyz(cou1,1),Rxyz(cou1,2),Rxyz(cou1,3)
c          write(*,*) Rxyz(cou1,1),Rxyz(cou1,2),Rxyz(cou1,3)
c      10      continue
c      close(15,status='keep')
c
c      ここから Hmn を求めるプログラム
c
```

```

c      R 原子の決定
DO 1000 num=1, AN
    R1x=Rxyz(num, 1)
    R1y=Rxyz(num, 2)
    R1z=Rxyz(num, 3)

c
c
c      隣の原子の決定
DO 900 snum=num, AN

c
c      同じ原子の場合は 550 へ
    IF(snum.EQ.num) GO TO 550

c
c      X 成分が基準より大きい場合, 飛ばす
    IF(ABS(Rxyz(snum, 1)-Rxyz(num, 1)).GE.LENa) GO TO 900

c
c      Y 成分が基準より大きい場合, 飛ばす
    IF(ABS(Rxyz(snum, 2)-Rxyz(num, 2)).GE.LENa) GO TO 900

c
c      Z 成分が基準より大きい場合, 飛ばす
    IF(ABS(Rxyz(snum, 3)-Rxyz(num, 3)).GE.LENa) GO TO 900

c
c      原子間の距離の 2 乗を求める
    LENxyz_2 =
#      (Rxyz(snum, 1)-Rxyz(num, 1))*(Rxyz(snum, 1)-Rxyz(num, 1))
#      +(Rxyz(snum, 2)-Rxyz(num, 2))*(Rxyz(snum, 2)-Rxyz(num, 2))
#      +(Rxyz(snum, 3)-Rxyz(num, 3))*(Rxyz(snum, 3)-Rxyz(num, 3))
    write(*,*) LENxyz_2

c
c      原子間の距離が基準より大きい場合, 飛ばす
    IF(LENxyz_2.GE.LENa_2) GO TO 900

c
c      Qr
    IF(LENxyz_2.GE.LENb_2)then
        CHECK=1
    else
        CHECK=0
    end if

c
c      隣の原子と決定された原子の座標を入れる
    Nx=Rxyz(snum, 1)
    Ny=Rxyz(snum, 2)
    Nz=Rxyz(snum, 3)

c
c      ----- 隣である -----

c
c      write(*,*) num, snum

c
c      Hij に座標を入れる

c
c      call Hij(R1x, R1y, R1z, Nx, Ny, Nz, LENxyz_2, Hehe, SeSe, CHECK)

c
c
c      結果を行列に入れる
DO 200 k=1, 4
    DO 100 l=1, 4
c
c      write(*,*) (num-1)*4+k, (snum-1)*4+l
        Hmn((num-1)*4+k, (snum-1)*4+l)=Hehe(k, l)
        Smn((num-1)*4+k, (snum-1)*4+l)=Sese(k, l)
        Hmn((snum-1)*4+k, (num-1)*4+l)=Hehe(l, k)
        Smn((snum-1)*4+k, (num-1)*4+l)=Sese(l, k)
100    CONTINUE
200    CONTINUE
GO TO 900

c
c
c      ----- 同じ原子の時の Hmn の値を入れる -----

c
c
c 550
550    Hmn(num*4-3, snum*4-3)=e2s
        Smn(num*4-3, snum*4-3)=1.
        DO 560 o=1, 3
            Hmn(num*4-3+o, snum*4-3+o)=e2p
            Smn(num*4-3+o, snum*4-3+o)=1.
560    CONTINUE

c
c      ----- 離れている時 (既に 0 を入れている) -----

```

```

c
c
c
900    CONTINUE
1000  CONTINUE
c
c   Hmn をファイルに出力
open(20,FILE='Hmn60.dat',access='sequential',
#   form='formatted')
DO 51 sho1=1,NSIZE
   DO 52 sho2=1,NSIZE
      write(20,*) Hmn(sho1,sho2)
52    continue
51    continue
close(20,status='keep')
c
c   Smn をファイルに出力
open(21,FILE='Smn60.dat',access='sequential',
#   form='formatted')
DO 61 sho1=1,NSIZE
   DO 62 sho2=1,NSIZE
      write(21,*) Smn(sho1,sho2)
62    continue
61    continue
close(21,status='keep')
c
c   Stop
END
c
c
c
c -----
c   C60 の Hij を計算するプログラム
c
subroutine Hij(R_x,R_y,R_z,N_x,N_y,N_z,LEN_2,Hehe,Sese,CHECK)
c
implicit real*8(a-z)
integer CHECK
parameter(
#   pi=3.14159265,
#   vs=6.6,
#   vsg=4.3,
#   vpi=4.5,
c   #   u=1.0/7.0,
#   rs=0.62,
#   rsg=0.81,
#   rpi=0.55 )
c
c   型宣言
dimension Hehe(4,4),Sese(4,4)
c
c   ----- 値の定義 -----
c
c   u=1.0/7.0
rx=R_x
ry=R_y
rz=R_z
n1x=N_x
n1y=N_y
n1z=N_z
ZERO=0.0
ONE=1.0
c
c
c   ----- 計算式 -----
c
c   |Rn-R|
c
R1L_1=sqrt(LEN_2)
write(*,*) R1L_1
c
c   タイトバインディングパラメーター
Hss=(-7.0*vs*Rssfun(4.0*R1L_1/(rs+rs)))
Hsp=(-7.0*(sqrt(vs*vsg))*Rspfun(4.0*R1L_1/(rs+rsg)))
Hsg=(-7.0*vsg*Rsigfun(4.0*R1L_1/(rsg+rsg)))
Hpi=(-7.0*vpi*Rpifun(4.0*R1L_1/(rpi+rpi)))
Sss = Rssfun(4.0*R1L_1/(rs+rs))
Ssp = Rspfun(4.0*R1L_1/(rs+rsg))

```

```

Ssg = Rsigfun(4.0*R1L_1/(rsg+rsg))
Spi = Rpifun(4.0*R1L_1/(rpi+rpi))

IF(CHECK.eq.1)then
  Q = Qr(R1L_1,(pi*(R1L1-3.6)/0.4))
  Hss=Hss*Q
  Hsp=Hsp*Q
  Hsg=Hsg*Q
  Hpi=Hpi*Q
  Sss=Sss*Q
  Ssp=Ssp*Q
  Ssg=Ssg*Q
  Spi=Spi*Q
end if

C   write(*,*) Hss,Sss
C   write(*,*) Hsp,Ssp
C   write(*,*) Hsg,Ssg
C   write(*,*) Hpi,Spi
c   COSx ( N側の成分からみてR方向のCOS )
cosx = Csth(r_x,n_x,R1L_1)
cosxx = cosx**2
c   COSy
cosy = Csth(r_y,n_y,R1L_1)
cosyy = cosy**2
c   COSz
cosz = Csth(r_z,n_z,R1L_1)
coszz = cosz**2

c
c   Hの計算式
c
c   Hsp,Ssp
c
c   値の代入
Hspx = Hsp * cosx
Hspy = Hsp * cosy
Hspz = Hsp * cosz
c
c   Ssp,Ssp
Sspx = Ssp * cosx
Sspy = Ssp * cosy
Sspz = Ssp * cosz

c
c   Hpapa,Spapa
c
c   値の代入
Hpxpx = Hsg * (-(cosxx))
Hpxpx2 = Hpi * (1 - cosxx)
c
c   Hpypy
Hpypy1 = Hsg * (-(cosyy))
Hpypy2 = Hpi * (1 - cosyy)
c
c   Hpzpz
Hpzpz1 = Hsg * (-(coszz))
Hpzpz2 = Hpi * (1 - coszz)
c
c   Hpxpx = (Hpxpx1 + Hpxpx2)
Hpypy = (Hpypy1 + Hpypy2)
Hpzpz = (Hpzpz1 + Hpzpz2)
c
c   Spxpx
Spxpx = (Ssg * (-(cosxx)) + Spi * (1 - cosxx))
Spypy
Spypy = (Ssg * (-(cosyy)) + Spi * (1 - cosyy))
c
c   Spzpz
Spzpz = (Ssg * (-(coszz)) + Spi * (1 - coszz))

c
c   Hpapb
c
c   値の代入
c
c   Hpxpy
Hpxpy1 = Hsg * (-(cosx * cosy))

```

```

Hpxpy2 = Hpi*nejire(rx,ry,rz,n1x,n1y,n1z,R1L_1,
# ONE,ZERO,ZERO,ZERO,ONE,ZERO)
c
c
Hpxpz
Hpxpz1 = Hsg * (-(cosx * cosz))
Hpxpz2 = Hpi*nejire(rx,ry,rz,n1x,n1y,n1z,R1L_1,
# ONE,ZERO,ZERO,ZERO,ZERO,ONE)
c
c
Hypyz
Hypyz1 = Hsg * (-(cosy * cosz))
Hypyz2 = Hpi*nejire(rx,ry,rz,n1x,n1y,n1z,R1L_1,
# ZERO,ONE,ZERO,ZERO,ZERO,ONE)
c
c
Hpxpy = (Hpxpy1 + Hpxpy2)
Hpxpz = (Hpxpz1 + Hpxpz2)
Hypyz = (Hypyz1 + Hypyz2)
Hypyx = Hpxpy
Hpzpx = Hpxpz
Hpzpy = Hypyz
c
Spxpy = (Hpxpy1*Ssg/Hsg + Hpxpy2*Spi/Hpi)
Spxpz = (Hpxpz1*Ssg/Hsg + Hpxpz2*Spi/Hpi)
Spypz = (Hypyz1*Ssg/Hsg + Hypyz2*Spi/Hpi)
Spypx = Spxpy
Spzpx = Spxpz
Spzpy = Spypz
c
c
c
c
Hsasa
Hehe(1,1) = Hss
Hsp
c
Hehe(1,2) = Hsp * (cosx)
Hspy
c
Hehe(1,3) = Hsp * (cosy)
Hspz
c
Hehe(1,4) = Hsp * (cosz)
Hpxs
c
Hehe(2,1) = (-Hehe(1,2))
Hpxpx
c
Hehe(2,2) = Hpxpx
Hpxpy
c
Hehe(2,3) = Hpxpy
Hpxpz
c
Hehe(2,4) = Hpxpz
Hpys
c
Hehe(3,1) = (-Hehe(1,3))
Hpypx
c
Hehe(3,2) = Hpypx
Hpypy
c
Hehe(3,3) = Hpypy
Hypyz
c
Hehe(3,4) = Hypyz
Hpzs
c
Hehe(4,1) = (-Hehe(1,4))
Hpzpx
c
Hehe(4,2) = Hpzpx
Hpzpy
c
Hehe(4,3) = Hpzpy
Hpzpz
c
Hehe(4,4) = Hpzpz
c
Sese(1,1) = (Sss)
Sese(1,2) = (Ssp)
Sese(1,3) = (Sspy)
Sese(1,4) = (Sspz)
Sese(2,1) = (-Sese(1,2))
Sese(2,2) = (Spxpx)
Sese(2,3) = (Spxpy)
Sese(2,4) = (Spxpz)
Sese(3,1) = (-Sese(1,3))
Sese(3,2) = (Spypx)

```

```

Sese(3,3) = (Spypy)
Sese(3,4) = (Spypz)
Sese(4,1) = (-Sese(1,4))
Sese(4,2) = (Spzpx)
Sese(4,3) = (Spzpy)
Sese(4,4) = (Spzpz)

C
C
      return
      END

C
      よく出てくる cos, sin の関数の定義
C----- 副関数 -----
      real*8 function Csth(a,b,c)
      real*8 a,b,c
      if(abs(c).lt.1.0D-14) THEN
          Csth = 0
          STOP
      ELSE
          Csth = (a-b)/c
      END IF
      return
      end

C
      ねじれ (成分)
      real*8 function Nejire(R1x,R1y,R1z,Nx,Ny,Nz,LEN,
#       RPx,RPy,RPz,NPx,NPy,NPz)
      implicit real*8 (a-z)
      dimension R1(3),NJ(3),RJ(3),NK(3),RK(3)
      parameter(
C       #       Hpi=(-3.033))
C
C       R->N ベクトル
      R1(1)=Nx-R1x
      R1(2)=Ny-R1y
      R1(3)=Nz-R1z

C
C       NP の NR 方向の成分の大きさ + 正負
      NNAI=(R1(1)*NPx + R1(2)*NPy + R1(3)*NPz)/LEN
      write(*,*) R1(1)*NPx

C
C       NP の NR 方向の成分
      NJ(1)=(R1(1)/LEN)*NNAI
      NJ(2)=(R1(2)/LEN)*NNAI
      NJ(3)=(R1(3)/LEN)*NNAI

C
C       NP の残りの成分
      NK(1)=NPx-NJ(1)
      NK(2)=NPy-NJ(2)
      NK(3)=NPz-NJ(3)

C
C       RP の NR 方向の成分の大きさ + 正負
      RNAI=(R1(1)*RPx + R1(2)*RPy + R1(3)*RPz)/LEN

C
C       RP の NR 方向の成分
      RJ(1)=(R1(1)/LEN)*RNAI
      RJ(2)=(R1(2)/LEN)*RNAI
      RJ(3)=(R1(3)/LEN)*RNAI

C
C       RP の残りの成分
      RK(1)=RPx-RJ(1)
      RK(2)=RPy-RJ(2)
      RK(3)=RPz-RJ(3)

C
      Nejire = (NK(1)*RK(1) + NK(2)*RK(2) + NK(3)*RK(3))
      return
      end

C
C
C
      real*8 function Rssfun(x)
      real*8 x
      implicit real*8 (a-z)
      Rssfun=exp(-x)*(1.0+x+x*x/3.0)
      return

```

```

end

real*8 function Rspfun(x)
real*8 x
implicit real*8 (a-z)
Rspfun=(exp(-x)*(x+x*x/3.0))
return
end

real*8 function Rsigfun(x)
real*8 x
implicit real*8 (a-z)
Rsigfun=(exp(-x)*(-1.0+x+x*x/3.0))
return
end

real*8 function Rpifun(x)
real*8 x
Rpifun=exp(-x)*(1.0+x+x*x/3.0)
return
end

real*8 function Qr(x,theta)
real*8 x,theta
Qr = 0.5*(1.0+cos(theta))
return
end

```

2. 固有値、固有ベクトルの計算プログラム (固有値、固有ベクトルの計算はプログラム DI-GAB を引用)

入力ファイル : Hmn60.dat (H60am.f, lenham.f により出力)
: Smn60.dat (同上)
: SIZES

出力ファイル : energyV60.dat 固有ベクトルのデータ
: energyV60.edt エネルギー固有値のデータ
: energy60.dat エネルギー固有値の縮重度 (xvgr 用)

```

c      Hmn を daigab に代入するプログラム
c
c
c
c      integer cou1,cou2,scou,count,counter,n,nsiz,ne,nv,AN
implicit real*8(a-z)
INCLUDE 'SIZES'
parameter(
#      EPS= 1.0D-20,
#      kijun=(-0.00006))
dimension Hmn(NSIZE,NSIZE),Smn(NSIZE,NSIZE),E(NSIZE),
#      W(NSIZE,7),V(NSIZE,NSIZE)
c
N = NSIZE
NE = NSIZE
NV = NSIZE
open(15,FILE='Hmn60.dat',
#      status='old',access='sequential',form='formatted')
rewind 15
DO 10 cou1=1,NSIZE
DO 11 cou2=1,NSIZE
read(15,*) Hmn(cou1,cou2)
11 continue
10 continue
close(15,status='keep')

open(16,FILE='Smn60.dat',
#      status='old',access='sequential',form='formatted')
rewind 16
DO 20 cou1=1,NSIZE
DO 21 cou2=1,NSIZE
read(16,*) Smn(cou1,cou2)
21 continue
20 continue
close(16,status='keep')
c
c      DAIGAB に値を代入
call DEIGAB(Hmn,Smn,N,NSIZE,NE,NV,EPS,W,E,V)

```



```

C
C   E の出力
C
C   固有ベクトルの出力
C   V(count,SCOU):E(SCOU) に対応するベクトル
C
  open(22,FILE='energyV60.dat',access='sequential',
#     form='formatted')
  write(22,*) AN
  DO 101 SCOU=1,NSIZE
    C     TMP=0.0
    C     DO 103 count=1,NSIZE
    C       TMP=TMP+V(count,SCOU)**2
C 103    continue
    C     TMP2=0.0
    C     DO 102 count=1,NSIZE
    C       write(22,*) V(SCOU,NSIZE+1-count)
C/sqrt(TMP)
    C     TMP2=TMP2+(V(count,SCOU)/sqrt(TMP))**2
    C 102    continue
    C     write(*,*) TMP2
C 101    continue

C
C   固有値の出力
C
  open(21,FILE='energyV60.edt',access='sequential',
#     form='formatted')
  DO 100 count=1,NSIZE
    write(21,*) E(NSIZE+1-count)
C 100 CONTINUE
  close(21,status='keep')
  write(*,*) '120',E(120)
  open(20,FILE='energy60.dat',access='sequential',
#     form='formatted')
  counter=1
  do 110 cou2=1,NSIZE-1
    if(counter.eq.1) then
      energy=e(COU2)
    endif

    if((e(COU2+1)-e(COU2)).GE.kijun) then
      counter=counter+1
      energy=energy+e(COU2+1)
      if(cou2.eq.NSIZE-1) then
        do 14 SCOU=0,counter
          write(20,*) energy/counter,SCOU
C 14        continue
        endif
      else
        do 12 SCOU=0,counter
          write(20,*) energy/counter,SCOU
C 12        continue
          write(20,*) energy/counter,0
          if(cou2.eq.NSIZE-1) then
            do 13 SCOU=0,1
              write(20,*) e(NSIZE),SCOU
C 13            continue
            endif
            counter=1
          endif
        endif
      endif
    endif
  110 continue
  close(20,status='keep')
  Stop
  END

C
SUBROUTINE DEIGAB( A, B, N, NSIZE, NE, NV, EPS, W, E, V )
IMPLICIT REAL*8 (A-H,O-Q,S-Z)
  SUBPROGRAM FOR GENERALIZED EIGENVALUE PROBLEM
  (A) X = LAMBDA (B) X
  FOR REAL SYMMETRIC MATRICES (A) & (B), THE LATTER BEING
  POSITIVE DEFINITE.

  * USAGE - -
  CALL DEIGAB( A, B, N, NSIZE, NE, NV, EPS, W, E, V )

  INPUT - -

```

```

C      A      R *8  - 2-DIM. ARRAY CONTAINING REAL SYMMETRIC MATRIX.
C      B      R *8  - 2-DIM. ARRAY CONTAINING REAL SYMMETRIC
C                   POSITIVE DEFINITE MATRIX.
C      N      I *4  - ORDER OF MATRIX.
C      NSIZE  I *4  - SIZE OF THE 2-DIM. ARRAYS A, B, W & V
C                   DEFINED IN 'DIMENSION' STATEMENT (FIRST INDEX).
C      NE     I *4  - NUMBER OF EIGENVALUES TO BE OBTAINED.
C                   IN DESCENDING ORDER WHEN NE > 0,
C                   IN ASCENDING ORDER WHEN NE < 0.
C      NV     I *4  - NUMBER OF EIGENVECTORS TO BE OBTAINED.
C      EPS    R *8  - ACCURACY ( STANDARD VALUE 1.0D-16 ).
C
C      OUTPUT - -
C      E      R *8  - 1-DIM. ARRAY CONTAINING THE OUTPUT EIGENVALUES
C      V      R *8  - 2-DIM. ARRAY CONTAINING THE OUTPUT EIGENVECTORS
C                   THE VECTOR ( V(1,K), V(2,K), ..., V(N,K) )
C                   BELONGS TO THE EIGENVALUE E(K).
C      WORKING SPACE - -
C      W      R *8  - 2-DIM. ARRAY (N,7) USED AS THE WORKING AREA.
C
C      * NOTE - -
C      THE MATRICES (A) AND (B) ARE DESTROYED.
C      * METHOD - -
C      CHOLESKY REDUCTION FOLLOWED BY HOUSEHOLDER DIAGONALIZATION.
C      * SUBROUTINE USED - - DEIGRS
C      IMPLICIT INTEGER (R)
C
C      DIMENSION A(NSIZE,NSIZE), B(NSIZE,NSIZE), W(NSIZE,7)
C      DIMENSION V(NSIZE,NSIZE), E(NSIZE)
C
C      CHECK THE INPUT DATA.
C
C      NEV = NE
C      NEVA = IABS(NEV)
C      NVEC = NV
C      IF( N ) 8, 8, 1
C      1 IF( NSIZE - N ) 8, 2, 2
C      2 IF( NEVA ) 3, 8, 3
C      3 IF( N - NEVA ) 8, 4, 4
C      4 IF( NVEC ) 8, 5, 5
C      5 IF( NEVA - NVEC ) 8, 10, 10
C      8 WRITE(6,9) N, NSIZE, NEV, NVEC
C      9 FORMAT(' (SUBR.DEIGAB) INVALID ARGUMENT. N, NSIZE, NE, NV = '4
C      #I5)
C      RETURN
C
C      10 CONTINUE
C      IF( N .NE. 1 ) GO TO 20
C      T = B(1,1)
C      IF ( T ) 24, 24, 15
C      15 B(1,1) = DSQRT(1.0D0/T)
C      18 E(1) = A(1,1)/T
C      V(1,1) = 1.0D0
C      RETURN
C
C      20 CONTINUE
C      CHOLESKY DECOMPOSITION OF THE POSITIVE DEFINITE
C      MATRIX (B) INTO A PRODUCT OF A LOWER TRIANGULAR
C      MATRIX (L) WITH ITS TRANSPOSED MATRIX.
C
C      T = B(1,1)
C      IF( T ) 24, 24, 21
C      21 T = DSQRT(1.0D0/T)
C      B(1,1) = T
C      DO 22 I=2, N
C      22 B(1,I) = B(I,1) * T
C      DO 29 R=2, N
C      RSUB1 = R - 1
C      SUM = 0.0
C      DO 23 K=1, RSUB1
C      23 SUM = B(K,R) ** 2 + SUM
C      T = B(R,R) - SUM
C      IF( T ) 24, 24, 26
C      26 T = DSQRT(1.0D0/T)
C      B(R,R) = T
C      IF( R .GE. N ) GO TO 30
C      RADD1 = R + 1
C      DO 28 I=RADD1, N
C      SUM = 0.0
C      DO 27 K=1, RSUB1

```

```

27     SUM = B(K,I) * B(K,R) + SUM
      B(R,I) = ( B(I,R) - SUM ) * T
28     CONTINUE
29     CONTINUE
      ENTRY DABSUB( A, EPS, E, V )
      IF ( N.NE.1 ) GO TO 30
      T = 1.0D0/B(1,1)**2
      GO TO 18
30     CONTINUE
      CHOLESKY DECOMPOSITION IS COMPLETED.
      B = L L(T), THE UPPER TRIANGULAR MATRIX L(T) IS
      STORED IN THE ARRAY B.
      NOW, PROCEED TO EVALUATE L**(-1) A L(T)**(-1)
      FIRST, PRE-MULTIPLY L**(-1).
      DO 31 J=1, N
31     A(1,J) = A(J,1) * B(1,1)
      DO 35 J=1, N
      DO 34 R=2, N
      RSUB1 = R - 1
      SUM = 0.0
      DO 32 K=1, RSUB1
32     SUM = B(K,R) * A(K,J) + SUM
      C
      C
      C
      A(R,J) = ( A(R,J) - SUM ) * B(R,R)
34     CONTINUE
35     CONTINUE
      C
      NEXT, POST-MULTIPLY L(T)**(-1).
      DO 36 J=1, N
36     A(J,1) = A(J,1) * B(1,1)
      DO 40 R=2, N
      RSUB1 = R - 1
      T1 = B(R,R)
      DO 38 K=1, RSUB1
      T = - B(K,R)
      DO 37 J=R, N
37     A(J,R) = A(J,K) * T + A(J,R)
38     CONTINUE
      DO 39 J=R, N
39     A(J,R) = A(J,R) * T1
40     CONTINUE
      C
      FIND EIGENVALUES AND EIGENVECTORS
      OF THE TRANSFORMED MATRIX.
      CALL DEIGRS( A, N, NSIZE, NEV, NVEC, EPS, W, W(1,7), E, V )
      C
      BACK TRANSFORMATION OF EIGENVECTORS.
      IF( NVEC ) 41, 50, 41
41     CONTINUE
      DO 45 J=1, NVEC
      K = N
42     T = V(K,J) * B(K,K)
      V(K,J) = T
      K1 = K - 1
      IF( K1 ) 43, 45, 43
43     DO 44 R=1, K1
44     V(R,J) = V(R,J) - B(R,K) * T
      K = K1
      GO TO 42
45     CONTINUE
50     RETURN
24     WRITE(6,25)
25     FORMAT (' (SUBR.DEIGAB) MATRIX B IS NOT POSITIVE DEFINITE. ')
      RETURN
      END
      C
      SUBROUTINE DEIGRS( A, N, N1, NE, NV, EPS, W, LW, E, V )
      C
      c Solve Eigenvalue Problem for Real Symmetrical Matrix
      c which is taken from MSL, Tokyo-Univ. Comp. Center.
      C
      IMPLICIT REAL*8(A-H,O-Z)
      LOGICAL SW, LW
      DIMENSION A(N1,N1), W(N1,7), LW(N1), E(N1), V(N1,N1)
      NEA=IABS(NE)
      IF(NEA.NE.0) GO TO 1
      WRITE(6,1000) NE
      RETURN
1     NVA=IABS(NV)

```

```

        IF( NVA.LE.NEA .AND. NEA.LE.N .AND. N.LE.N1) GO TO 2
        WRITE(6,2000) NV, NE, N, N1
        E(1)=0.
        RETURN
    2  NM1=N-1
        NM2=N-2
        IF( EPS.LT.0.0 ) EPS=1.0D-16
        IF(NM2) 10, 20, 50
C  WHEN N=1
    10 E(1)=A(1,1)
        IF ( NV.NE.0 ) V(1,1) = 1.0D0
        RETURN
C  WHEN N=2
C  COMPUTE EIGENVALUES OF 2*2 MATRIX
    20 CALL ERRSET(207,256,-1,1)
        W(1,1)=A(2,1)
        T = 0.5D0*(A(1,1)+A(2,2))
        R=A(1,1)*A(2,2)-A(2,1)*A(2,1)
        D=T*T-R
        Q=DABS(T)+DSQRT(D)
        IF(T.LT.0.) Q=-Q
        T = T*DFLOAT(NE)
        IF(T) 40, 30, 30
    30 E(1)=Q
        IF(NEA.EQ.2) E(2)=R/Q
        GO TO 250
    40 E(1)=R/Q
        IF(NEA.EQ.2) E(2)=Q
        GO TO 250
C  WHEN N=3,4,...
C  REDUCE TO TRIDIAGONAL FORM BY HOUSEHOLDER'S METHOD
    50 DO 130 K=1,NM2
        K1=K+1
        S=0.
        DO 60 I=K1,N
    60 S=S+A(I,K)*A(I,K)
        W(K,1)=0.
        IF(S.EQ.0.) GO TO 130
        SR=DSQRT(S)
        A1=A(K1,K)
        IF(A1.LT.0.) SR=-SR
        W(K,1)=-SR
        R = 1.0D0/(S+A1*SR)
        A(K1,K)=A1+SR
        DO 90 I=K1,N
        S=0.
        DO 70 J=K1,I
    70 S=S+A(I,J)*A(J,K)
        IF(I.EQ.N) GO TO 90
        I1=I+1
        DO 80 J=I1,N
    80 S=S+A(J,I)*A(J,K)
    90 W(I,1)=S*R
        S=0.
        DO 100 I=K1,N
    100 S=S+A(I,K)*W(I,1)
        T = 0.5D0*S*R
        DO 110 I=K1,N
    110 W(I,1)=W(I,1)-T*A(I,K)
        DO 120 J=K1,N
        WJ1=W(J,1)
        AJK=A(J,K)
        DO 120 I=J,N
    120 A(I,J)=A(I,J)-A(I,K)*WJ1-W(I,1)*AJK
    130 CONTINUE
        W(NM1,1)=A(N,NM1)
C  COMPUTE EIGENVALUES BY BISECTION METHOD
        CALL ERRSET(207,256,-1,1)
        DO 135 I=1,N
    135 W(I,6)=A(I,I)
        R=DMAX1((DABS(W(1,6))+DABS(W(1,1))), (DABS(W(NM1,1))+DABS(W(N,6))))
        DO 140 I=2,NM1
        T=DABS(W(I-1,1))+DABS(W(I,6))+DABS(W(I,1))
        IF(T.GT.R) R=T
    140 CONTINUE
        EPS1=R*1.0D-16
        EPS2=R*EPS
        DO 150 I=1,NM1
    150 W(I,2)=W(I,1)*W(I,1)

```

```

        IF(NE.LT.0) R=-R
        F=R
        DO 160 I=1,NEA
160    E(I)=-R
        DO 240 K=1,NEA
        D=E(K)
170    T = 0.5D0*(D+F)
C
        IF( DABS(D-F).LE.EPS2 .OR. T.EQ.D .OR. T.EQ.F ) GO TO 240
C
        J=0
        I=1
180    Q=W(I,6)-T
190    IF(Q.GE.0.) J=J+1
        IF(Q.EQ.0.) GO TO 200
        I=I+1
        IF(I.GT.N) GO TO 210
        CALL OVERFL(L)
        Q=W(I,6)-T-W(I-1,2)/Q
        CALL OVERFL(L)
        IF(L.NE.1) GO TO 190
        J=J+1
        I=I-1
200    I=I+2
        IF(I.LE.N) GO TO 180
210    IF(NE.LT.0) J=N-J
        IF(J.GE.K) GO TO 220
        F=T
        GO TO 170
220    D=T
        M=MINO(J,NEA)
        DO 230 I=K,M
230    E(I)=T
        GO TO 170
240    E(K)=T
C    COMPUTE EIGENVECTORS BY INVERSE ITERATION
250    CALL ERRSET(207, 10, 5,2)
        IF(NV.EQ.0) RETURN
        IF( N.NE.2 ) GO TO 255
        W(1,6)=A(1,1)
        W(2,6)=A(2,2)
255    CALL ERRSET(207,256,-1,1)
C
        W(N,1)=0.
        MM=584287
        DO 410 I=1,NVA
        DO 260 J=1,N
        W(J,2)=W(J,6)-E(I)
        W(J,3)=W(J,1)
260    V(J,I) = 1.0D0
        SW=.FALSE.
C    REDUCE TO TRIANGULAR FORM
        DO 280 J=1,MM1
        IF(DABS(W(J,2)).LT.DABS(W(J,1))) GO TO 270
        IF(W(J,2).EQ.0) W(J,2)=1.0D-30
        W(J,5)=W(J,1)/W(J,2)
        LW(J)=.FALSE.
        W(J+1,2)=W(J+1,2)-W(J,5)*W(J,3)
        W(J,4)=0.
        GO TO 280
270    W(J,5)=W(J,2)/W(J,1)
        LW(J)=.TRUE.
        W(J,2)=W(J,1)
        T=W(J,3)
        W(J,3)=W(J+1,2)
        W(J,4)=W(J+1,3)
        W(J+1,2)=T-W(J,5)*W(J,3)
        W(J+1,3)=-W(J,5)*W(J,4)
280    CONTINUE
        IF(W(N,2).EQ.0.) W(N,2)=1.0D-30
C    BEGIN BACK SUBSTITUTION
        IF(I.EQ.1) GO TO 300
        IF(DABS(E(I)-E(I-1)).GE.EPS1) GO TO 300
C    GENERATE RANDOM NUMBERS
        DO 290 J=1,N
        MM=MM*48828125
290    V(J,I)=FLOAT(MM)*0.4656613E-9
300    CALL OVERFL(L)
        T=V(N,I)

```

```

R=V(N-1,I)
310 V(N,I)=T/W(N,2)
V(NM1,I)=(R-W(NM1,3)*V(N,I))/W(NM1,2)
CALL OVERFL(L)
IF(L.NE.1) GO TO 330
DO 320 J=1,NM2
320 V(J,I)=V(J,I)*1.D-5
T=T*1.D-5
R=R*1.D-5
GO TO 310
330 IF(N.EQ.2) GO TO 380
K=NM2
340 T=V(K,I)
350 V(K,I)=(T-W(K,3)*V(K+1,I)-W(K,4)*V(K+2,I))/W(K,2)
CALL OVERFL(L)
IF(L.NE.1) GO TO 370
DO 360 J=1,N
360 V(J,I)=V(J,I)*1.D-5
T=T*1.D-5
GO TO 350
370 K=K-1
IF(K) 380, 380, 340
380 IF(SW) GO TO 410
SW=.TRUE.
DO 400 J=1,NM1
IF(LW(J)) GO TO 390
V(J+1,I)=V(J+1,I)-W(J,5)*V(J,I)
GO TO 400
390 T=V(J,I)
V(J,I)=V(J+1,I)
V(J+1,I)=T-W(J,5)*V(J+1,I)
400 CONTINUE
GO TO 300
410 CONTINUE
C BEGIN BACK TRANSFORMATION
CALL ERRSET(207, 10, 5, 2)
IF(N.EQ.2) GO TO 470
DO 415 I=1,NM2
415 W(I,1)=-W(I,1)*A(I+1,I)
DO 460 I=1,NVA
K=NM2
420 R=W(K,1)
IF(R.EQ.0.) GO TO 450
R = 1.0D0/R
S=0.
K1=K+1
DO 430 J=K1,N
430 S=S+A(J,K)*V(J,I)
R=R*S
DO 440 J=K1,N
440 V(J,I)=V(J,I)-R*A(J,K)
450 K=K-1
IF(K.GE.1) GO TO 420
460 CONTINUE
C NORMALIZE EIGENVECTORS
C NORMALIZE AS MAXIMUM ELEMENT = 1
470 DO 490 I=1,NVA
T=DABS(V(1,I))
K=1
DO 480 J=2,N
R=DABS(V(J,I))
IF(T.GE.R) GO TO 480
T=R
K=J
480 CONTINUE
T = 1.0D0/V(K,I)
DO 490 J=1,N
490 V(J,I)=V(J,I)*T
IF(NV.LT.0) RETURN
C ORTHONORMALIZE AS NORM = 1
DO 550 I=1,NVA
IF(I.EQ.1) GO TO 520
IF(DABS(E(I)-E(I-1)).GE.EPS1) GO TO 520
C ORTHONORMALIZE EIGENVECTORS FOR DEGENERATED EIGENVALUES
I1=I-1
DO 510 J=M,I1
S=0.
DO 500 K=1,N
500 S=S+V(K,J)*V(K,I)

```

```

DO 510 K=1,N
510 V(K,I)=V(K,I)-S*V(K,J)
GO TO 530
520 M=I
C NORMALIZE AS NORM = 1
530 S=0.
DO 540 J=1,N
540 S=S+V(J,I)*V(J,I)
T=0.0
IF ( S.NE.0.0 ) T = DSQRT(1.0D0/S)
DO 550 J=1,N
550 V(J,I)=V(J,I)*T
RETURN
1000 FORMAT(1H0,'(SUBR. DEIGRS) NE=',I5,', NE SHOULD BE NON-ZERO. RETUR
*N WITH NO CALCULATION.')
2000 FORMAT(1H0,'(SUBR. DEIGRS) NV=',I5,', NE=',I5,', N=',I5,', N1=',I5
*,1H,/1H,'NV, NE, N, N1 SHOULD SATISFY THE FOLLOWING INEQUALITIES,
* !NV! <= !NE! <= N <= N1.'/1H,'RETURN WITH NO CALCULATION.')
END
SUBROUTINE ERRSET(I,J,K,L)
RETURN
END
SUBROUTINE OVERFL(L)
RETURN
END

```

3. 状態密度を計算するプログラム

入力ファイル : Smn60.dat (H60am.f, lenham.f により出力)

: energyV60.dat (c60.f により出力)

: energyV60.edt (c60.f により出力)

: SIZES

出力ファイル : jm-all.dat2 1 原子あたり状態密度 (xvgr 用)

: jm-s.dat2 2s 軌道の状態密度

: jm-px.dat2 2px 軌道の状態密度

: jm-py.dat2 2py 軌道の状態密度

: jm-pz.dat2 2pz 軌道の状態密度

```

C
C 状態密度の計算プログラム
C
implicit real*8 (a-z)
integer NSIZE,AN,M,N,I,J,A_N
C d95.f 用
integer n2,nm,nc,NUMNUM
C-----
INCLUDE 'SIZES'
C d95.f 用
parameter (n2=800,nm=240)
C-----
dimension C(NSIZE,NSIZE),S(NSIZE,NSIZE),E(NSIZE),
# CN(NSIZE,NSIZE),amoall(NSIZE),amos(NSIZE),amopx(NSIZE),
# amopy(NSIZE),amopz(NSIZE)
C d95.f 用
dimension yall(n2),ys(n2),ypx(n2),ypy(n2),ypz(n2),xc(n2)
C-----
C
C 行列の読み込み
C エネルギー固有値
C energyV.edt の形式は E(k)
C
open(18,FILE='energyV60.edt')
do 9 I=1,NSIZE
read(18,*) E(I)
9 continue
close(18,status='keep')
C
C 固有ベクトル
C energyV.dat の形式は C(i,k) i: 原子軌道 k: エネルギー固有値 E(k)
C に対応
C 読み込む時は C(k,i) に変更
C

```

```

open(19,FILE='energyV60.dat')
read(19,*) A_N
do 10 M=1,NSIZE
  do 11 N=1,NSIZE
    write(*,*) M,N
    read(19,*) C(N,M)
  11 continue
10 continue
close(19,status='keep')

C
C
C Smn60.dat の形式は S(m,n) m,n: 原子軌道に対応
C
open(21,FILE='Smn60.dat')
do 12 M=1,NSIZE
  do 13 N=1,NSIZE
    read(21,*) S(M,N)
  13 continue
12 continue
close(21,status='keep')

C
C
C 行列の計算 + 規格化
C
DO 20 M=1,NSIZE
  DO 21 N=1,NSIZE
    CN(M,N)=C(M,N)*S(M,N)
  21 continue
  TMP=0.0
  DO 22 N=1,NSIZE
    TMP=CN(M,N)*CN(M,N)+TMP
  22 continue
  DO 23 N=1,NSIZE
    CN(M,N)=CN(M,N)/sqrt(TMP)
  23 continue
  TMP2=0.0
  do 24 N=1,NSIZE
    TMP2=TMP2+CN(M,N)*CN(M,N)
  24 continue
  write(*,*) TMP2
20 continue
do 25 i=1,NSIZE
  amos(i) = 0.0
  amopx(i)= 0.0
  amopy(i)= 0.0
  amopz(i)= 0.0
25 continue

C DO 125 M=1,NSIZE
C TMP3=0.0
C DO 126 N=1,NSIZE
C TMP3=TMP3+CN(M,N)*CN(M,N)
C 126 continue
C write(*,*) TMP3
C 125 continue
C
nc=0
C
do 30 M=1,NSIZE
  do 31 N=1,AN
C E(M) に対する s, px, py, pz の成分
C s
  amos(M)=amos(M)+CN(M,(N-1)*4+1)*CN(M,(N-1)*4+1)
C px
  amopx(M)=amopx(M)+CN(M,(N-1)*4+2)*CN(M,(N-1)*4+2)
C py
  amopy(M)=amopy(M)+CN(M,(N-1)*4+3)*CN(M,(N-1)*4+3)
C pz
  amopz(M)=amopz(M)+CN(M,(N-1)*4+4)*CN(M,(N-1)*4+4)
C
  nc = nc+1
31 continue
C
  amoall(M)=amos(M)+amopx(M)+amopy(M)+amopz(M)
C write(*,*) amoall(M)
30 continue
nc = int(nc/nm)

```



```

c      do 39 i=1,NSIZE
c          SUMS=amoall(i)
c 39      continue
c          write(*,*) SUMS

c      d95.f ㄥ ㄥ
c-----
C      nm=240
C      n2=400

dx=(abs(E(1)-E(nm))+10.0)/float(n2-1)
de=dx
write(*,*) 'de = ',de
de2=de*de
dd=16.0*de

do i=1,n2
c
c      xc(i)=float(int(e(1))-5.0)+dx*float(i-1)
c
c      ys(i)= 0.0
c      ypx(i)= 0.0
c      ypy(i)= 0.0
c      ypz(i)= 0.0
C      yspxpy(i)=0.0
c      yall(i)=0.0
c
end do

do i= 1,nm
do j=1,n2
if(abs(E(i)-xc(j)).lt.dd) then
ys(j)=ys(j)+exp(-(E(i)-xc(j))**2/(de2*16.0))*amos(i)
ypx(j)=ypx(j)+exp(-(E(i)-xc(j))**2/(de2*16.0))*amopx(i)
ypy(j)=ypy(j)+exp(-(E(i)-xc(j))**2/(de2*16.0))*amopy(i)
ypz(j)=ypz(j)+exp(-(E(i)-xc(j))**2/(de2*16.0))*amopz(i)
C      yspxpy(j)=yspxpy(j)+exp(-(E(i)-xc(j))**2/de2)*amospxpy(i)
#      yall(j)=yall(j)+exp(-(E(i)-xc(j))**2/(de2*16.0))
#          *amoall(i)
endif
end do
end do

c----- c sc: Scaling Factor
sc=1.0/(float(nc)*de*4.0*sqrt(3.1415926535))
write(*,*) 'scaling factor = ',sc
NUMNUM=1
c
do i=1,n2
ys(i)=ys(i)*sc
ypx(i)=ypx(i)*sc
ypy(i)=ypy(i)*sc
ypz(i)=ypz(i)*sc
C      yspxpy(i)=yspxpy(i)*sc
c      yall(i)=yall(i)*sc
c
sumys=sumys+ys(i)
sumypx=sumypx+ypx(i)
sumypy=sumypy+ypy(i)
sumypz=sumypz+ypz(i)
C      sumyspxpy=sumyspxpy+yspxpy(i)
sumyall=sumyall+yall(i)
if(NUMNUM.eq.1) then
if((sumyall*dx).GE.(3.9999/2.0))then
write(*,*) xc(i)
NUMNUM=0
end if
end if
end do

sumys=sumys*dx
sumypx=sumypx*dx

```

```

        sumypy=sumypy*dx
        sumypz=sumypz*dx
C       sumyspxpy=sumyspxpy*dx
        sumyall=sumyall*dx
C
        write(*,*) 'Sum yall=8 ',sumyall
        write(*,*) 'Sum ys=2',sumys
        write(*,*) 'Sum ypx=2',sumypx
        write(*,*) 'Sum ypy=2',sumypy
        write(*,*) 'Sum ypz=2',sumypz
C       write(*,*) 'Sum yspxpy=6 ',sumyspxpy
C
C       j=index(jobname,' ')-1
C
C
        open(62,file='jm-all.dat2')
        do i=1,n2
            write(62,1000) xc(i), yall(i)
        end do
        write(62,*) '#'
        close(62)
        open(64,file='jm-s.dat2')
        do i=1,n2
            write(64,1000) xc(i), ys(i)
        end do
        write(64,*) '#'
        close(64)

        open(65,file='jm-px.dat2')
        do i=1,n2
            write(65,1000) xc(i), ypx(i)
        end do
        write(65,*) '#'
        close(65)

        open(66,file='jm-py.dat2')
        do i=1,n2
            write(66,1000) xc(i), ypy(i)
        end do
        write(66,*) '#'
        close(66)

        open(67,file='jm-pz.dat2')
        do i=1,n2
            write(67,1000) xc(i), ypz(i)
        end do
        write(67,*) '#'
        close(67)

1000 format(f10.5,f13.8)
1010 format(f10.5,a)
1005 format(I4)
        stop
        end

```

4. チェーンモデルをつくるプログラム

入力ファイル : c60.xyz 原子の座標データ

: c60.sizes プログラムのパラメーター

出力ファイル : n.dat 基底の中の原子の番号のデータ

: Ares.dat an の計算のためのデータ

(n の中での隣接する原子の情報)

: Bres.dat bn の計算のためのデータ

(n と n-1 での隣接原子の情報)

: N.par ハミルトニアン行列計算プログラム

(Sham.f, Lhamr.f, Lhamlen.f) パラメータ定義ファイル

: ZAHYOU.dat

Xmol で見るための途中までのチェーンモデルの座標データ

```

-----
implicit real*8(a-y)
implicit complex*16(z)
CHARACTER*20 DUM_CHA
INTEGER I, J, K, L, N, COUNT, AN, MVOL, NVOL, MBANG, NBANG, NCOUNT,

```

```

#      MOTO,NOKORI,CHECK,N_MAX,DAT_MAX,NSIZE,MAXSIZE,MAXD
C      MOTO   :Nにある原子の原子番号
C      NOKORI :Nでの残りの原子番号
C      N_MAX  :Nの最大数
C      AN     :原子数
C      DAT_MAX:MOTOの最大数

INCLUDE 'c60.sizes'
parameter(KIJUN=1.6)
dimension R(AN,3)
dimension MOTO(N_MAX,DAT_MAX)
dimension NOKORI(N_MAX,AN-1)
dimension MVOL(N_MAX)
dimension NVOL(N_MAX)
MAXSIZE=0
open(20,FILE='c60.xyz')
read(20,*) DUM

DO 1001 COUNT=1,AN
  read(20,*) DUM_CHA,R(COUNT,1),R(COUNT,2),R(COUNT,3)
C      DO 1002 L=1,3
C      read(20,*) R(COUNT,L)
C 1002  continue
1001  continue
      close(20,STATUS='keep')

MVOL(1)=1
NVOL(1)=AN-1
MOTO(1,1)=1

DO 12 N=1,N_MAX
  DO 11 I=1,AN-1
    NOKORI(N,I)=0
11    continue
12  continue
DO 10 I=1,AN-1
  NOKORI(1,I)=I+1
10  continue

open(22,FILE='Bres.dat')
DO 101 N=1,N_MAX
  MBANG=0
  NBANG=0
  DO 102 J=1,NVOL(N)
    CHECK=0
    DO 103 K=1,MVOL(N)
C      if(NOKORI(N,J).eq.MOTO(N,K)) STOP
      DO 104 L=1,3
        if(ABS(R(NOKORI(N,J),L)-R(MOTO(N,K),L)).GE.KIJUN)
#          then
            go to 103
          endif
104      continue
          RLEN_2=0.0
          DO 401 L=1,3
            RLEN_2 = RLEN_2+(R(NOKORI(N,J),L)-R(MOTO(N,K),L))
#              *(R(NOKORI(N,J),L)-R(MOTO(N,K),L))
401      continue
            if(RLEN_2.GE.(KIJUN*KIJUN)) go to 103
C      隣であった場合ここを通る
            write(22,*) K,MOTO(N,K),NOKORI(N,J),RLEN_2
            if(CHECK.eq.0) then
              MBANG=MBANG+1
              if(MBANG.GE.DAT_MAX+1) then
                write(*,*) 'DAT_MAXが足りません'
                close(22,STATUS='keep')
                STOP
              end if
              MOTO(N+1,MBANG) = NOKORI(N,J)
              CHECK=1
            end if
103      continue
            if(CHECK.eq.0)then
C      隣ではなかった時
              NBANG=NBANG+1
              NOKORI(N+1,NBANG)=NOKORI(N,J)
            end if

```

```

102     continue
        MVOL(N+1)=MBANG
C       MBANG=0
        NVOL(N+1)=NBANG
        IF(NBANG.GE.MAXSIZE)then
            MAXSIZE=NBANG
        END IF
C       NBANG=0
        write(22,*) ' 0 0',MVOL(N+1),' 0'
        if(NBANG.eq.0) then
            NSIZE=N+1
            go to 100
        end if
101     continue
100     if(NBANG.GE.0.1) then
        write(*,*) 'N_MAXが足りません'
        close(22,STATUS='keep')
        STOP
    end if
    close(22,STATUS='keep')
    open(21,FILE='res.dat')
C     write(*,*) N
    DO 200 N=1,10
        write(21,*) MVOL(N)
        IF(MVOL(N).GE.MAXD)then
            MAXD=MVOL(N)
        END IF
200     continue
        close(21,STATUS='keep')
        open(22,FILE='n.dat')
        DO 201 N=1,NSIZE
            DO 202 I=1,MVOL(N)
                write(22,*) MOTO(N,I)
202         continue
            write(22,*) '0'
201     continue
        close(22,STATUS='keep')
        open(23,FILE='Ares.dat')
        DO 301 N=1,NSIZE
C         write(23,*) N
            NCOUNT=0
            DO 302 I=1,MVOL(N)
                DO 303 J=I,MVOL(N)
                    DO 304 L=1,3
                        if(ABS(R(MOTO(N,I),L)-R(MOTO(N,J),L)).GE.KIJUN)
#                             then
                                go to 303
                            endif
304         continue
            RLEN_2=0.0
            DO 305 L=1,3
                RLEN_2 = RLEN_2+(R(MOTO(N,I),L)-R(MOTO(N,J),L))
#                 *(R(MOTO(N,I),L)-R(MOTO(N,J),L))
305         continue
            if(RLEN_2.GE.(KIJUN*KIJUN)) go to 303
            write(23,*) MOTO(N,I),MOTO(N,J),J,RLEN_2
            NCOUNT=NCOUNT+1
303         continue
302         continue
        IF(NCOUNT.GE.MAXSIZE)then
            MAXSIZE=NCOUNT
        END IF
        write(23,*) ' 0 0 0 0'
301     continue
        close(23,STATUS='keep')
        write(*,*) 'Nは',NSIZE,'まであります'

        open(24,FILE='N.par')
        write(24,*) '      parameter('
        write(24,*) '      #      AN=',AN,',',',',
        write(24,*) '      #      MAX=',MAXSIZE+1,',',',',
        write(24,*) '      #      MAXD=',MAXD,',',',',
        write(24,*) '      #      NSIZE=',NSIZE-1,',',',')
        close(24,STATUS='keep')
        open(25,FILE='ZAHYOU.dat')
        write(25,*) '60'

```

```

        write(25,*) ' '
        DO 501 N=1,NSIZE
            DO 502 I=1,MVOL(N)
                write(25,*) 'C',R(MOTO(N,I),1),R(MOTO(N,I),2),R(MOTO(N,I),3)
502         continue
501         continue
        close(25,STATUS='keep')
        STOP
        END

```

5. リカージョン法による状態密度計算プログラム

入力ファイル : c60.xyz
 : n.dat(Lsoot1.f により出力)
 : Ares.dat(同上)
 : Bres.dat(同上)
 : N.par パラメータ定義ファイル(同上)
 出力ファイル : ANres.dat an の計算結果
 (Lhamr.f) : BNres.dat bn の計算結果
 : C60mitsu.plt 状態密度

```

-----
        implicit real*8 (a-h,o-y)
        implicit integer*4 (i-n)
        implicit complex*16 (z)
        real*8 N_xyz,hehe,KEISUU
        integer AN,cou1,WIDTH_L,WIDTH
        INCLUDE 'N.par'
        parameter(
#           e2s=(-8.868),
#           WIDTH_L=4000,
#           pi=3.14159265358979323846)
        CHARACTER*20 DUM_CHA
        dimension R(AN,3),AVOL(0:NSIZE),BVOL(NSIZE),NVOL(0:NSIZE),
#           ARESU(0:NSIZE),B(0:NSIZE),RESUB(0:NSIZE,MAXD*4),
#           MOTOA_1(0:NSIZE,MAX),MOTOA_2(0:NSIZE,MAX),
#           MOTOA_3(0:NSIZE,MAX),
#           MOTOB_1(NSIZE,MAX),MOTOB_2(NSIZE,MAX),MOTOB_T(NSIZE,MAX),
#           ALEN_2(0:NSIZE,MAX),BLEN_2(NSIZE,MAX),R_xyz(3),N_xyz(3),
#           RE(WIDTH_L*2+1),NDAT(0:NSIZE,MAX),
#           Hmn(MAXD*4,MAXD*4),Smn(MAXD*4,MAXD*4),
#           hehe(4,4),sese(4,4),haha(4,4),
#           KEISDAT(NSIZE,MAXD*4),KEISMAX(MAXD*4)

        Er=0.01
        ZEI=(0.0,0.3)

c         原子の座標の読み込み
c
        open(20,FILE='c60.xyz',STATUS='old')
        read(20,*) II
        DO 10 cou1=1,AN
            read(20,*) DUM_CHA,R(cou1,1),R(cou1,2),R(cou1,3)
c            write(*,*) R(cou1,1),R(cou1,2),R(cou1,3)
10         continue
        close(20,status='keep')
        open(19,FILE='n.dat')
        DO 21 N=0,NSIZE
            DO 22 I=1,MAX
                read(19,*) NDAT(N,I)
                if(NDAT(N,I).eq.0) then
                    NVOL(N)=I-1
                    go to 21
                end if
            continue
22         continue
21         continue

        open(21,FILE='Ares.dat')
        DO 101 N=0,NSIZE
            DO 102 I=1,MAX
                read(21,*) MOTOA_1(N,I),MOTOA_2(N,I),MOTOA_3(N,I),ALEN_2(N,I)
                if(MOTOA_1(N,I).eq.0) then

```

```

                AVOL(N)=I-1
                go to 101
            end if
102    continue
101    continue
        close(21,STATUS='keep')
        open(22,FILE='Bres.dat')
        DO 103 N=1,NSIZE
            DO 104 I=1,MAX
                read(22,*) MOTOB_T(N,I),MOTOB_1(N,I),MOTOB_2(N,I),
#                 BLEN_2(N,I)
                if(MOTOB_1(N,I).eq.0) then
                    BVOL(N)=I-1
                    go to 103
                end if
104    continue
103    continue
        close(22,STATUS='keep')
C     データの読み込み終了
C
C     A0 の計算
        N=0
        J=0
        ARESU(N)=0.0
        DO 151 I=1,AVOL(N)
            if(ALEN_2(N,I).lt.0.1) then
C     KEISMAX(J): J の原子の隣の原子の数
                J=J+1
                KEISMAX(J)=0
C     H 行列
                DO 161 K=1,4
                    DO 162 L=1,4
                        Sese(K,L)=0.0
162                continue
                        haha(K,K)=e2p
                        Sese(K,K)=1.0
161                continue
                        haha(1,1)=e2s
                    else
C     hehe, sese の計算
                        R_xyz(1)=R(MOTOA_1(N,I),1)
                        R_xyz(2)=R(MOTOA_1(N,I),2)
                        R_xyz(3)=R(MOTOA_1(N,I),3)
                        N_xyz(1)=R(MOTOA_2(N,I),1)
                        N_xyz(2)=R(MOTOA_2(N,I),2)
                        N_xyz(3)=R(MOTOA_2(N,I),3)
                        RLEN_2=ALEN_2(N,I)
                        call Hij(R_xyz,N_xyz,RLEN_2,haha,sese)
                    end if
C     行列の値の代入
                        DO 152 K=1,4
                            DO 153 L=1,4
                                SUMO=SUMO+sese(K,L)
                                ARESU(N)=ARESU(N)+haha(K,L)
153                            continue
152                        continue
151                    continue
                    DO 154 K=1,4
                        RESUB(0,K)=1.0/sqrt(SUMO)
154                    continue
                    ARESU(0)=ARESU(0)/SUMO
                    B(0)=1
C
C     N について
C
C     DO 201 N=1,NSIZE
C         write(*,*) N
                DO 501 K=1,NVOL(N)*4
                    DO 502 L=1,NVOL(N)*4
                        Smn(K,L)=0.0
502                    continue
501                continue
C     B(n) について
                DO 302 I=1,BVOL(N)
C     I が最初
                    if(I.eq.1)then
                        J=1

```

```

C      最初ではない時
C      else
C      前回と同じ原子番号の時 CHECK=1
          if(MOTOB_2(N,I-1).eq.MOTOB_2(N,I))then
              CHECK=1
C      違う原子番号の時 CHECK=0
          else
              CHECK=0
              J=J+1
          end if
      end if
C
      R_xyz(1)=R(MOTOB_1(N,I),1)
      R_xyz(2)=R(MOTOB_1(N,I),2)
      R_xyz(3)=R(MOTOB_1(N,I),3)
      N_xyz(1)=R(MOTOB_2(N,I),1)
      N_xyz(2)=R(MOTOB_2(N,I),2)
      N_xyz(3)=R(MOTOB_2(N,I),3)
      RLEN_2=BLEN_2(N,I)
C      write(*,*) J
      call Hb(R_xyz,N_xyz,RLEN_2,haha)
C      もとの原子番号が同じ時 前回の結果 RESUB にたす
      if(CHECK.eq.1) then
          RESUB(N,J*4-3)=RESUB(N,J*4-3) +
#           Haha(1,1)*RESUB(N-1,MOTOB_T(N,I)*4-3) +
#           Haha(2,1)*RESUB(N-1,MOTOB_T(N,I)*4-2) +
#           Haha(3,1)*RESUB(N-1,MOTOB_T(N,I)*4-1) +
#           Haha(4,1)*RESUB(N-1,MOTOB_T(N,I)*4)
          RESUB(N,J*4-2)=RESUB(N,J*4-2) +
#           Haha(1,2)*RESUB(N-1,MOTOB_T(N,I)*4-3) +
#           Haha(2,2)*RESUB(N-1,MOTOB_T(N,I)*4-2) +
#           Haha(3,2)*RESUB(N-1,MOTOB_T(N,I)*4-1) +
#           Haha(4,2)*RESUB(N-1,MOTOB_T(N,I)*4)
          RESUB(N,J*4-1)=RESUB(N,J*4-1) +
#           Haha(1,3)*RESUB(N-1,MOTOB_T(N,I)*4-3) +
#           Haha(2,3)*RESUB(N-1,MOTOB_T(N,I)*4-2) +
#           Haha(3,3)*RESUB(N-1,MOTOB_T(N,I)*4-1) +
#           Haha(4,3)*RESUB(N-1,MOTOB_T(N,I)*4)
          RESUB(N,J*4) =RESUB(N,J*4) +
#           Haha(1,3)*RESUB(N-1,MOTOB_T(N,I)*4-3) +
#           Haha(2,3)*RESUB(N-1,MOTOB_T(N,I)*4-2) +
#           Haha(3,3)*RESUB(N-1,MOTOB_T(N,I)*4-1) +
#           Haha(4,3)*RESUB(N-1,MOTOB_T(N,I)*4)
C      違う時 新しい結果 RESUB をつくる
      else
          RESUB(N,J*4-3)=Haha(1,1)*RESUB(N-1,MOTOB_T(N,I)*4-3) +
#           Haha(2,1)*RESUB(N-1,MOTOB_T(N,I)*4-2) +
#           Haha(3,1)*RESUB(N-1,MOTOB_T(N,I)*4-1) +
#           Haha(4,1)*RESUB(N-1,MOTOB_T(N,I)*4)
          RESUB(N,J*4-2)=Haha(1,2)*RESUB(N-1,MOTOB_T(N,I)*4-3) +
#           Haha(2,2)*RESUB(N-1,MOTOB_T(N,I)*4-2) +
#           Haha(3,2)*RESUB(N-1,MOTOB_T(N,I)*4-1) +
#           Haha(4,2)*RESUB(N-1,MOTOB_T(N,I)*4)
          RESUB(N,J*4-1)=Haha(1,3)*RESUB(N-1,MOTOB_T(N,I)*4-3) +
#           Haha(2,3)*RESUB(N-1,MOTOB_T(N,I)*4-2) +
#           Haha(3,3)*RESUB(N-1,MOTOB_T(N,I)*4-1) +
#           Haha(4,3)*RESUB(N-1,MOTOB_T(N,I)*4)
          RESUB(N,J*4) =Haha(1,4)*RESUB(N-1,MOTOB_T(N,I)*4-3) +
#           Haha(2,4)*RESUB(N-1,MOTOB_T(N,I)*4-2) +
#           Haha(3,4)*RESUB(N-1,MOTOB_T(N,I)*4-1) +
#           Haha(4,4)*RESUB(N-1,MOTOB_T(N,I)*4)
      end if
302      continue
C      RESUB() を sqrt(B(N-1)) でわる .
      DO 601 M=1,NVOL(N)*4
          RESUB(N,M)=RESUB(N,M)/sqrt(B(N-1))
601      continue
C      An と Bn の前の計算
      J=0
      ARESU(N)=0.0
      DO 202 I=1,AVOL(N)
          if(ALEN_2(N,I).lt.0.1) then
C      KEISMAX(J): J の原子の隣の原子の数
              J=J+1
              KEISMAX(J)=0
C      K: 行列を入れる場所
C      K=J

```

```

C      H 行列 S 行列
      DO 220 K=1,4
      DO 221 L=1,4
      Hehe(K,L)=0.0
      Sese(K,L)=0.0
221      continue
      Hehe(K,K)=e2p
      Sese(K,K)=1.0
220      continue
      Hehe(1,1)=e2s
      else
C      KEISDAT: J について J 以外で計算する場所の記憶番号
      KEISMAX(J)=KEISMAX(J)+1
      KEISDAT(J,KEISMAX(J))=MOTOA_3(N,I)
C      hehe, sese の計算
      R_xyz(1)=R(MOTOA_1(N,I),1)
      R_xyz(2)=R(MOTOA_1(N,I),2)
      R_xyz(3)=R(MOTOA_1(N,I),3)
      N_xyz(1)=R(MOTOA_2(N,I),1)
      N_xyz(2)=R(MOTOA_2(N,I),2)
      N_xyz(3)=R(MOTOA_2(N,I),3)
      RLEN_2=ALEN_2(N,I)
      call Hij(R_xyz,N_xyz,RLEN_2,hehe,sese)
      end if
C      J が自分の原子の通し番号 MOTOA_3(N,I) が相手の原子の通し番号
      DO 200 k=1,4
      DO 100 i=1,4
      Hmn((J-1)*4+k,(MOTOA_3(N,I)-1)*4+1)=Hehe(k,l)
      Smn((J-1)*4+k,(MOTOA_3(N,I)-1)*4+1)=Sese(k,l)
      Hmn((MOTOA_3(N,I)-1)*4+k,(J-1)*4+1)=Hehe(l,k)
      Smn((MOTOA_3(N,I)-1)*4+k,(J-1)*4+1)=Sese(l,k)
100      CONTINUE
200      CONTINUE
202      continue
C
C      B(n)
      DO 303 K=1,NVOL(N)*4
      DO 304 L=1,NVOL(N)*4
      Smn(K,L)=Smn(K,L)*RESUB(N,K)*RESUB(N,L)
304      continue
303      continue
      B(N)=0.0
      DO 305 K=1,NVOL(N)*4
      DO 306 L=1,NVOL(N)*4
      B(N)=B(N)+Smn(K,L)
306      continue
305      continue
C      Bn 終了
C      An の計算
      ARESU(N)=0.0
      DO 199 K=1,NVOL(N)*4
      DO 99 L=1,NVOL(N)*4
      Hmn(K,L)=Hmn(K,L)*
#          RESUB(N,K)*
#          RESUB(N,L)/B(N)
      ARESU(N)=ARESU(N)+
#          Hmn(K,L)
99      CONTINUE
199      CONTINUE
      ARESU(N)=ARESU(N)/(B(N))
C
C      N について終了
201      continue
C      DO 110 N=2,NSIZE-1
C      BHsum(N)=BHsum(N)/BHsum(N-1)
C 110      continue
C      DO 111 N=1,NSIZE-1
C      AHsum(N)=AHsum(N)/BHsum(N)
C 111      continue

      open(24,FILE='ANres.dat')
      DO 121 N=0,NSIZE
      write(24,*) N,ARESU(N)
121      continue
      close(24,STATUS='keep')
      open(25,FILE='BNres.dat')
      DO 122 N=1,NSIZE

```



```

        write(25,*) N,sqrt(B(N))
122  continue
    close(25,STATUS='keep')

c      Er での Green 関数を求める
    open(26,FILE='C60mitsu.plt')
    DO 30 WIDTH=(-WIDTH_L),WIDTH_L
        ZE = Er*(WIDTH) + ZEi
        ZBnn=(0.0,0.0)
        ZBnn=ZBnn+(B(NSIZE)/(ZE-ARESU(NSIZE)))
        DO 31 N=1,NSIZE-1
            ZBnn=(B(NSIZE-N))/(ZE-ARESU(NSIZE-N)-ZBnn)
31      continue
        RE(WIDTH_L+WIDTH+1)=(-imag(1.0/(ZE-ARESU(0)-ZBnn)))/pi
        write(26,*) Er*(WIDTH),4.0*RE(WIDTH_L+WIDTH+1)
30      continue
    close(26,STATUS='keep')

    STOP
    END

c
c
c      -----
c      AN を計算するプログラム
c
    subroutine Hij(R_xyz,N_xyz,RLEN_2,Hehe,Sese)
c
    parameter(
#      Hss=(-6.769),
#      Hsp=(-5.580),
#      Hsg=(-5.037),
#      Hpi=(-3.033),
#      Sss=0.212,
#      Ssp=0.102,
#      Ssg=0.146,
#      Spi=0.129)

c
c      型宣言
    implicit real*8(a-z)
    dimension N_xyz(3),R_xyz(3),Hehe(4,4),Sese(4,4)

c
c
    rx=R_xyz(1)
    ry=R_xyz(2)
    rz=R_xyz(3)
    n1x=N_xyz(1)
    n1y=N_xyz(2)
    n1z=N_xyz(3)
    ZERO=0.0
    ONE=1.0

c
c      ----- 計算式 -----
c
c      |Rn-R|

    R1L_1=sqrt(RLEN_2)

c
c      COSx ( N 側の成分からみて R 方向の COS )
    cosx = Csth(rx,n1x,R1L_1)
    cosxx = cosx**2
c
    COSy
    cosy = Csth(ry,n1y,R1L_1)
    cosyy = cosy**2
c
    COSz
    cosz = Csth(rz,n1z,R1L_1)
    coszz = cosz**2

c
c      H の計算式
c
    Hsp,Ssp
c
c      値の代入
    Hspx = Hsp * cosx

```

```

Hspy = Hsp * cosy
Hspz = Hsp * cosz
c
Sspx = Ssp * cosx
Sspy = Ssp * cosy
Sspz = Ssp * cosz
c
Hpapa, Spapa
c
c 値の代入
c Hpxpx
c Hpxpx1 = Hsg * (-(cosxx))
c
c Hpxpx2 = Hpi * (1 - cosxx)
c
c Hpypy
c Hpypy1 = Hsg * (-(cosyy))
c
c Hpypy2 = Hpi * (1 - cosyy)
c
c Hpzpz
c Hpzpz1 = Hsg * (-(coszz))
c
c Hpzpz2 = Hpi * (1 - coszz)
c
Hpxpx = Hpxpx1 + Hpxpx2
Hpypy = Hpypy1 + Hpypy2
Hpzpz = Hpzpz1 + Hpzpz2
Spxpx = Ssg * (-(cosxx)) + Spi * (1 - cosxx)
Spypy = Ssg * (-(cosyy)) + Spi * (1 - cosyy)
Spzpz = Ssg * (-(coszz)) + Spi * (1 - coszz)
c
c Hpapb
c
c 値の代入
c Hpxpy
c Hpxpy1 = Hsg * (-(cosx * cosy))
c
c Hpxpy2 = Hpi*nejire(rx,ry,rz,n1x,n1y,n1z,R1L_1,
# ONE,ZERO,ZERO,ZERO,ONE,ZERO)
c
c Hpxpz
c Hpxpz1 = Hsg * (-(cosx * cosz))
c
c Hpxpz2 = Hpi*nejire(rx,ry,rz,n1x,n1y,n1z,R1L_1,
# ONE,ZERO,ZERO,ZERO,ZERO,ONE)
c
c Hpypz
c Hpypz1 = Hsg * (-(cosy * cosz))
c
c Hpypz2 = Hpi*nejire(rx,ry,rz,n1x,n1y,n1z,R1L_1,
# ZERO,ONE,ZERO,ZERO,ZERO,ONE)
c
c
c Hpxpy = Hpxpy1 + Hpxpy2
c Hpxpz = Hpxpz1 + Hpxpz2
c Hpypz = Hpypz1 + Hpypz2
c Hpypx = Hpxpy
c Hpzpx = Hpxpz
c Hpzpy = Hpypz
c Spxpy = Hpxpy1*Ssg/Hsg + Hpxpy2*Spi/Hpi
c Spxpz = Hpxpz1*Ssg/Hsg + Hpxpz2*Spi/Hpi
c Spypz = Hpypz1*Ssg/Hsg + Hpypz2*Spi/Hpi
c Spypx = Spxpy
c Spzpx = Spxpz
c Spzpy = Spypz
c
c Hsasa
c Hehe(1,1) = Hss
c
c Hehe(1,2) = Hsp * cosx
c Hspy
c Hehe(1,3) = Hsp * cosy
c Hspz
c Hehe(1,4) = Hsp * cosz

```

```

c      Hpxs
Hehe(2,1) = -(Hehe(1,2))
c      Hpxpx
Hehe(2,2) = Hpxpx
c      Hpxpy
Hehe(2,3) = Hpxpy
c      Hpxpz
Hehe(2,4) = Hpxpz
c      Hpys
Hehe(3,1) = -(Hehe(1,3))
c      Hpypx
Hehe(3,2) = Hpypx
c      Hpypy
Hehe(3,3) = Hpypy
c      Hpypz
Hehe(3,4) = Hpypz
c      Hpzs
Hehe(4,1) = -(Hehe(1,4))
c      Hpzpx
Hehe(4,2) = Hpzpx
c      Hpzpy
Hehe(4,3) = Hpzpy
c      Hpzpz
Hehe(4,4) = Hpzpz
Sese(1,1) = Sss
Sese(1,2) = Ssp
Sese(1,3) = Ssp
Sese(1,4) = Sspz
Sese(2,1) = -(Sese(1,2))
Sese(2,2) = Sp
Sese(2,3) = Sp
Sese(2,4) = Sp
Sese(3,1) = -(Sese(1,3))
Sese(3,2) = Sp
Sese(3,3) = Sp
Sese(3,4) = Sp
Sese(4,1) = -(Sese(1,4))
Sese(4,2) = Sp
Sese(4,3) = Sp
Sese(4,4) = Sp

c
c
c
return
END
-----
c
c      C60 の Bn を計算するプログラム
c
subroutine Hb(R_xyz,N_xyz,RLEN_2,Hehe)
c
parameter(
#      Hss=(-6.769),
#      Hsp=(-5.580),
#      Hsg=(-5.037),
#      Hpi=(-3.033))
c
c      型宣言
c      implicit real*8(a-z)
dimension R_xyz(3),N_xyz(3),Hehe(4,4)
C,tete(4)
c
c
c
c
c
rx=R_xyz(1)
ry=R_xyz(2)
rz=R_xyz(3)
nix=N_xyz(1)
n1y=N_xyz(2)
n1z=N_xyz(3)
ZERO=0.0

```

```

ONE=1.0
C
C
C ----- 計算式 -----
C |Rn-R|

R1L_1=sqrt(RLEN_2)
C write(*,*) R1L_1
C
C
C COSx ( N側の成分からみて R方向の COS )
C cosx = Csth(rx,n1x,R1L_1)
C cosxx = cosx**2
C COSy
C cosy = Csth(ry,n1y,R1L_1)
C cosy = cosy**2
C COSz
C cosz = Csth(rz,n1z,R1L_1)
C coszz = cosz**2

C
C
C Hの計算式
C
C
C Hsp, Ssp
C
C 値の代入
C Hpzs = Hsp * (-cosz)
C
C Hpys = Hsp * (-cosy)
C
C Hpzs = Hsp * (-cosz)
C
C
C Hpapa, Spapa
C
C 値の代入
C Hpxpx = Hsg * (-(cosxx)) + Hpi * (1 - cosxx)
C
C Hpypy = Hsg * (-(cosyy)) + Hpi * (1 - cosyy)
C
C Hpzpz = Hsg * (-(coszz)) + Hpi * (1 - coszz)
C
C
C Hpapb
C
C 値の代入
C Hpxpy = Hsg * (-(cosx * cosy))
C
C Hpxpy2 = Hpi*nejire(rx,ry,rz,n1x,n1y,n1z,R1L_1,
# ONE,ZERO,ZERO,ZERO,ONE,ZERO)
C
C Hpxpz = Hsg * (-(cosx * cosz))
C
C Hpxpz2 = Hpi*nejire(rx,ry,rz,n1x,n1y,n1z,R1L_1,
# ONE,ZERO,ZERO,ZERO,ZERO,ONE)
C
C Hpypz = Hsg * (-(cosy * cosz))
C
C Hpypz2 = Hpi*nejire(rx,ry,rz,n1x,n1y,n1z,R1L_1,
# ZERO,ONE,ZERO,ZERO,ZERO,ONE)
C
C
C Hpxpy = Hpxpy1 + Hpxpy2
C Hpxpz = Hpxpz1 + Hpxpz2
C Hpypz = Hpypz1 + Hpypz2

```

```

Hpypx = Hpxpy
Hpzpx = Hpxpz
Hpzpy = Hpypz
Hehe(1,1) = Hss
Hehe(1,2) = Hspx
Hehe(1,3) = Hspy
Hehe(1,4) = Hspz
Hehe(2,1) = -(Hehe(1,2))
Hehe(2,2) = Hpxpx
Hehe(2,3) = Hpxpy
Hehe(2,4) = Hpxpz
Hehe(3,1) = -(Hehe(1,3))
Hehe(3,2) = Hpypx
Hehe(3,3) = Hpypy
Hehe(3,4) = Hpypz
Hehe(4,1) = -(Hehe(1,4))
Hehe(4,2) = Hpzpx
Hehe(4,3) = Hpzpy
Hehe(4,4) = Hpzpz
c
return
END
c
よく出てくる cos, sin の関数の定義
c----- 副関数 -----
real*8 function CSTH(a,b,c)
real*8 a,b,c
if(abs(c).lt.1.0D-14) THEN
    CSTH = 0
    write(*,*) 'エラー: function CSTH'
    STOP
ELSE
    CSTH = (a-b)/c
END IF
return
end
c
ねじれ ( 成分)
real*8 function Nejire(R1x,R1y,R1z,Nx,Ny,Nz,LEN,
#   RPx,RPy,RPz,NPx,NPy,NPz)
implicit real*8 (a-z)
c   real*8 NNAI,RNAI,R1,R1x,R1y,R1z,Nx,Ny,Nz,NJ,RJ,NK,RK,
c   #   LEN,NPx,NPy,NPz,RPx,RPy,RPz
dimension R1(3),NJ(3),RJ(3),NK(3),RK(3)
parameter(
#   Hpi=(-3.033))
c
c   R->N ベクトル
R1(1)=Nx-R1x
R1(2)=Ny-R1y
R1(3)=Nz-R1z
c
c   NP の NR 方向の成分の大きさ + 正負
NNAI=(R1(1)*NPx + R1(2)*NPy + R1(3)*NPz)/LEN
c   write(*,*) R1(1)*NPx
c
c   NP の NR 方向の成分
NJ(1)=(R1(1)/LEN)*NNAI
NJ(2)=(R1(2)/LEN)*NNAI
NJ(3)=(R1(3)/LEN)*NNAI
c
c   NP の残りの成分
NK(1)=NPx-NJ(1)
NK(2)=NPy-NJ(2)
NK(3)=NPz-NJ(3)
c
c   RP の NR 方向の成分の大きさ + 正負
RNAI=(R1(1)*RPx + R1(2)*RPy + R1(3)*RPz)/LEN
c
c   RP の NR 方向の成分
RJ(1)=(R1(1)/LEN)*RNAI
RJ(2)=(R1(2)/LEN)*RNAI
RJ(3)=(R1(3)/LEN)*RNAI
c
c   RP の残りの成分

```

```
RK(1)=RPx-RJ(1)
RK(2)=RPy-RJ(2)
RK(3)=RPz-RJ(3)
c
Nejire = (NK(1)*RK(1) + NK(2)*RK(2) + NK(3)*RK(3))
C
write(*,*) nejire
return
end
c
```